



TUGAS AKHIR - KI141502

**IDENTIFIKASI SEL DARAH MERAH
BERTUMPUK MENGGUNAKAN UNSUPERVISED
BAYESIAN CLASSIFICATION PADA CITRA
MIKROSKOPIK SEL DARAH**

**RM REZA RIZKY PRATAMA
NRP 5110 100 181**

Dosen Pembimbing I
Dr. Eng. Chastine Fatichah, S.Kom., M.Kom.

Dosen Pembimbing II
Diana Purwitasari, S.Kom., M.Sc.

**JURUSAN TEKNIK INFORMATIKA
Fakultas Teknologi Informasi
Institut Teknologi Sepuluh Nopember
Surabaya 2015**



UNDERGRADUATE THESIES - KI141502

**OVERLAPPED RED BLOOD CELL
IDENTIFICATION OF BLOOD MICROSCOPIC
IMAGE USING UNSUPERVISED BAYESIAN
CLASSIFICATION**

**RM REZA RIZKY PRATAMA
NRP 5110 100 181**

First Advisor
Dr. Eng.Chastine Fatichah, S.Kom., M.Kom.

Second Advisor
Diana Purwitasari, S.Kom., M.Sc.

**DEPARTMENT OF INFORMATICS
Faculty of Information Technology
Sepuluh Nopember Institute of Technology
Surabaya 2015**

LEMBAR PENGESAHAN

**IDENTIFIKASI SEL DARAH MERAH BERTUMPUK
MENGUNAKAN UNSUPERVISED BAYESIAN
CLASSIFICATION PADA CITRA MIKROSKOPIK SEL
DARAH**

TUGAS AKHIR

Diajukan Untuk Memenuhi Salah Satu Syarat
Memperoleh Gelar Sarjana Komputer
pada
Bidang Studi Komputasi Cerdas Visual
Program Studi S-1 Jurusan Teknik Informatika
Fakultas Teknologi Informasi
Institut Teknologi Sepuluh Nopember

Oleh
RM REZA RIZKY PRATAMA
NRP : 5110 100 181

Disetujui oleh Dosen Pembimbing Tugas Akhir:

1. Dr. Eng. Chastine Fatchah, S.Kom., M.Kom.
(NIP: 19751220 200112 2 002) (Pembimbing 1)
2. Diana Purwitasari, S.Kom., M.Sc
(NIP: 19780410 200312 2 001) (Pembimbing 2)

SURABAYA
JULI, 2015

IDENTIFIKASI SEL DARAH MERAH BERTUMPUK MENGUNAKAN UNSUPERVISED BAYESIAN CLASSIFICATION PADA CITRA MIKROSKOPIS SEL DARAH

Nama Mahasiswa : RM Reza Rizky Pratama
NRP : 5110 100 181
Jurusan : Teknik Informatika FTIF-ITS
Dosen Pembimbing 1 : Dr. Eng. Chastine Faticah, S.Kom., M.Kom.
Dosen Pembimbing 2 : Diana Purwitasari, S.Kom., M.Sc.

Abstrak

Jumlah sel dapat digunakan untuk menentukan jenis penyakit seperti anemia disebabkan kurangnya sel darah merah atau leukimia disebabkan lebihnya sel darah putih, dan lain-lain. Dalam proses ekstraksi sel secara otomatis dari data citra mikroskopis sel darah, salah satu masalah adalah terdapatnya sel bertumpuk yang mengakibatkan ketidakakuratan penghitungan jumlah sel. Pada Tugas Akhir ini diimplementasikan identifikasi sel darah merah bertumpuk dalam citra mikroskopis sel darah dengan unsupervised Bayesian classification.

Pemisahan sel yang bertumpuk akan dimodelkan sebagai suatu cluster. Kemudian digunakan algoritma Expectation-Maximization untuk mendapatkan hasil parameter yang optimal sebagai nilai masukan Bayesian classifier. Cluster validity index digunakan untuk estimasi jumlah sel bertumpuk.

Pada uji coba penghitungan sel darah merah bertumpuk menggunakan metode unsupervised bayesian classification dilakukan perbandingan dengan penghitungan secara manual. Indikator undersegmented dan oversegmented menunjukkan bentuk dari sel darah merah yang tidak tepat bertumpuk. Uji coba metode mampu memberikan hasil cukup memuaskan dengan rata-rata akurasi 87,94%, serta rata-rata

error undersegmented dan oversegmented sebesar 3,82% dan 8,24%.

Kata Kunci: Sel Bertumpuk, Sel Darah Merah, Bayesian Classification, Algoritma Expectation-Maximization(EM)

OVERLAPPED RED BLOOD CELL IDENTIFICATION OF BLOOD MICROSCOPIC IMAGE USING UNSUPERVISED BAYESIAN CLASSIFICATION

Student's Name : RM Reza Rizky Pratama
Student's ID : 5110 100 181
Department : Informatics, FTIf-ITS
First Advisor : Dr. Eng. Chastine Fatichah, S.Kom., M.Kom.
Second Advisor : Diana Purwitasari, S.Kom., M.Sc.

Abstract

Number of cells can be used to determine disease's type like anemia caused by a lack of red blood cells or leukemia caused by the excess of white blood cells. When red blood cells are extracted automatically from microscopic images, the presence of stacked cells could lead to inaccuracies in counting the number of cells. This final project identified stacked cells from blood microscopic images for red blood cell count with unsupervised Bayesian classification.

Cluster model is used to separate stacked cells. Expectation-Maximization algorithm was used to approximate the optimal values for input parameters in Bayesian classifier. Cluster validity index is used to estimate the amount of overlapped red blood cells.

Experiments compared the values of red blood cell count from the implemented system with the result of manual counting. The error values of undersegmented and oversegmented indicators show red blood cells which are not precisely overlapped. The experiment results displayed some satisfactory results with the accuracy of 87,94% in addition to undersegmented error 3,82% and oversegmented error 8,24%.

Keywords: *Overlapped Cell, Red Blood Cell, Bayesian Classification, Expectation-Maximization Algorithm (EM).*

KATA PENGANTAR

بِسْمِ اللَّهِ الرَّحْمَنِ الرَّحِيمِ

Alhamdulillahirabbil'alamin, segala puji bagi Allah SWT, yang telah melimpahkan rahmat dan hidayah-Nya sehingga penulis dapat menyelesaikan Tugas Akhir yang berjudul “Identifikasi Sel Darah Merah Bertumpuk Menggunakan *Unsupervised Bayesian Classification* pada Citra Mikroskopik Sel Darah”.

Pengerjaan Tugas Akhir ini menjadi sebuah sarana bagi penulis untuk memperdalam ilmu pengetahuan dan mengimplementasikan apa yang didapatkan penulis selama menempuh perkuliahan di Teknik Informatika ITS.

Terselesaikannya buku Tugas Akhir ini tidak lepas dari bantuan dan dukungan beberapa pihak. Sehingga pada kesempatan ini penulis mengucapkan terima kasih kepada:

1. Allah SWT atas limpahan rahmat dan karunia-Nya sehingga penulis diberikan kemampuan akal pikir yang mampu menghasilkan buah karya ini.
2. Kedua orang tua penulis, Bapak Dita Mahar Rochman dan Ibu Djumharini yang selalu memberikan motivasi dan semangat pada saat pengerjaan Tugas Akhir.
3. Ibu Dr. Eng. Chastine Fatichah, S.Kom., M.Kom. selaku dosen pembimbing 1 yang selalu sabar dalam menghadapi penulis dan memberikan bimbingan dan bantuan kepada penulis.
4. Ibu Diana Purwitasari selaku dosen pembimbing 2 yang dengan sabar memberikan masukan dan semangat pada penulis.
5. Teman – teman dari tim TFX yang memberikan dukungan moral serta selalu menyemangati penulis.
6. Seluruh teman Teknik Informatika ITS angkatan 2010.

7. Seluruh teman kelas Edhoc Teknik Informatika ITS angkatan 2010.
8. Seluruh pihak yang belum sempat disebutkan satu per satu yang telah membantu terselesaikannya Tugas Akhir ini.

Penulis menyadari bahwa Tugas Akhir ini masih memiliki banyak kekurangan. Sehingga dengan kerendahan hati, penulis mengharapkan kritik dan saran dari pembaca untuk perbaikan ke depan.

Surabaya, Juli 2015

DAFTAR ISI

LEMBAR PENGESAHAN.....	v
Abstrak	vii
Abstract	ix
KATA PENGANTAR	xi
DAFTAR ISI.....	xiii
DAFTAR GAMBAR	xvii
DAFTAR TABEL.....	xxi
BAB I PENDAHULUAN	1
1.1 Latar Belakang.....	1
1.2 Rumusan Masalah	2
1.3 Batasan Masalah.....	2
1.4 Tujuan dan Manfaat.....	3
1.5 Metodologi	3
1.6 Sistematika Penulisan Laporan Tugas Akhir.....	5
BAB II TINJAUAN PUSTAKA.....	7
2.1 Citra Digital	7
2.2 Segmentasi Citra.....	8
2.3 Gaussian Mixture Models.....	9
2.4 Bayesian Classification	9
2.5 Distance Transform	10
2.6 Regional Maxima	10
2.7 Nearest Neighbour Algorithm.....	11
2.8 Expectation–Maximization Algorithm.....	12
2.9 Cluster Validity Index	16
BAB III PERANCANGAN PERANGKAT LUNAK	19
3.1 Lingkungan Perancangan Perangkat Lunak	19
3.2 Perancangan Data	19
3.2.1 Data Masukan.....	20
3.2.2 Data Proses	20
3.2.3 Data Keluaran.....	21
3.3 Perancangan serta <i>Pseudocode</i> proses.....	22
3.3.1 Preprocessing	23
3.3.2 Segmentasi Sel Darah Merah	26

3.3.3	Identifikasi Sel Bertumpuk	27
3.3.3.1	Fungsi H-Maxima.....	31
3.3.3.2	Fungsi Nearest Neighbour	32
3.3.3.3	Fungsi Clust Assign.....	33
3.3.3.4	Fungsi Likelihood.....	34
3.3.3.5	Fungsi Expectation-Maximization	35
3.3.3.6	Fungsi Clust EM.....	36
3.3.3.7	Fungsi Validate.....	37
3.3.3.8	Fungsi Colouring	38
BAB IV IMPLEMENTASI.....		41
4.1	Lingkungan Implementasi	41
4.2	Implementasi.....	41
4.2.1	Implementasi Tahapan Preprocessing	42
4.2.2	Implementasi Tahapan Segmentasi Sel Darah Merah.....	42
4.2.3	Implementasi Tahapan Identifikasi Sel Bertumpuk...45	45
4.2.3.1	Implementasi Fungsi H-Maxima	48
4.2.3.2	Implementasi Fungsi Nearest Neighbour	49
4.2.3.3	Implementasi Fungsi Clust Assign	50
4.2.3.4	Implementasi Fungsi Likelihood	51
4.2.3.5	Implementasi Fungsi Expectation-Maximization.52	52
4.2.3.6	Implementasi Fungsi Clust EM	55
4.2.3.7	Implementasi Fungsi Validate	56
4.2.3.8	Implementasi Fungsi Colouring	58
BAB V HASIL UJI COBA DAN EVALUASI.....		59
5.1	Lingkungan Pengujian	59
5.2	Data Uji Coba	59
5.3	Skenario Uji Coba.....	59
5.3.1	Skenario Uji Coba 1	60
5.3.2	Skenario Uji Coba 2	61
5.4	Hasil Uji Coba	61
5.4.1	Hasil Uji Coba 1	65
5.4.2	Hasil Uji Coba 2	68
5.4.3	Analisis Hasil Uji Coba	71
BAB VI KESIMPULAN DAN SARAN.....		73

6.1 Kesimpulan.....	73
6.2 Saran.....	74
DAFTAR PUSTAKA	75
LAMPIRAN UJI COBA	77
BIODATA PENULIS	87

DAFTAR GAMBAR

Gambar 2.1 Representasi Citra Digital	8
Gambar 2.2 Perubahan citra biner menjadi citra <i>distance</i>	10
Gambar 2.3 <i>Regional maxima</i> dari matriks A 10 x 10.....	11
Gambar 3.1 Sampel Citra Mikroskopis Sel Darah	20
Gambar 3.2 Diagram alir tahapan identifikasi sel darah merah bertumpuk pada citra sel darah merah.....	22
Gambar 3.3 Diagram alir tahapan <i>Preprocessing</i>	24
Gambar 3.4 <i>Pseudocode</i> dari tahapan <i>Preprocessing</i> (Bagian 1)	25
Gambar 3.5 <i>Pseudocode</i> dari tahapan <i>Preprocessing</i> (Bagian 2)	26
Gambar 3.6 Diagram alir tahapan Segmentasi	26
Gambar 3.7 <i>Pseudocode</i> dari segmentasi sel darah merah.....	27
Gambar 3.8 Diagram alir tahapan Identifikasi sel bertumpuk	28
Gambar 3.9 <i>Pseudocode</i> dari proses <i>distance transform</i> dan <i>regional maxima</i>	29
Gambar 3.10 Proses identifikasi sel bertumpuk seluruh objek	30
Gambar 3.11 <i>Pseudocode</i> dari <i>cluster validation</i> (Bagian 1)	30
Gambar 3.12 <i>Pseudocode</i> dari <i>cluster validation</i> (Bagian 2)	31
Gambar 3.13 <i>Pseudocode</i> dari fungsi <i>H_Maxima</i> (Bagian 1)	31
Gambar 3.14 <i>Pseudocode</i> dari fungsi <i>H_Maxima</i> (Bagian 1)	32
Gambar 3.15 <i>Pseudocode</i> dari fungsi <i>nearest_neighbour</i> (Bagian 1).....	32
Gambar 3.16 <i>Pseudocode</i> dari fungsi <i>nearest_neighbour</i> (Bagian 2).....	33
Gambar 3.17 <i>Pseudocode</i> dari fungsi <i>clust_assign</i> (Bagian 1)	33
Gambar 3.18 <i>Pseudocode</i> dari fungsi <i>clust_assign</i> (Bagian 2)	34
Gambar 3.19 <i>Pseudocode</i> dari fungsi <i>likelihood</i> (Bagian 1)..	34
Gambar 3.20 <i>Pseudocode</i> dari fungsi <i>likelihood</i> (Bagian 2)..	35

Gambar 3.21	<i>Pseudocode</i> dari iterasi <i>expectation_maximization</i>	36
Gambar 3.22	<i>Pseudocode</i> dari fungsi <i>clust_EM</i> (Bagian 1)...	36
Gambar 3.23	<i>Pseudocode</i> dari fungsi <i>clust_EM</i> (Bagian 2)...	37
Gambar 3.24	<i>Pseudocode</i> dari fungsi <i>validate</i> (Bagian 1).....	37
Gambar 3.25	<i>Pseudocode</i> dari fungsi <i>validate</i> (Bagian 2).....	38
Gambar 3.26	<i>Pseudocode</i> dari fungsi <i>colouring</i>	39
Gambar 4.1	Kode sumber tahapan <i>Preprocessing</i>	42
Gambar 4.2	Kode sumber proses penghilangan sel darah putih dan platelet	43
Gambar 4.3	Kode sumber proses penutupan lubang pada pinggir citra biner sel darah merah (Bagian 1)	44
Gambar 4.4	Kode sumber proses penutupan lubang pada pinggir citra biner sel darah merah (Bagian 2)	45
Gambar 4.5	Kode sumber proses pembuatan masing-masing objek sel darah merah (Bagian 1)	45
Gambar 4.6	Kode sumber proses pembuatan masing-masing objek sel darah merah (Bagian 2)	46
Gambar 4.7	Kode sumber proses setiap objek sel darah merah	47
Gambar 4.8	Kode sumber fungsi <i>H_maxima</i>	48
Gambar 4.9	Kode sumber fungsi <i>nearest_neighbour</i>	49
Gambar 4.10	Kode sumber fungsi <i>clust_assign</i> (Bagian 1) ...	50
Gambar 4.11	Kode sumber fungsi <i>clust_assign</i> (Bagian 2) ...	51
Gambar 4.12	Kode sumber fungsi <i>likelihood</i> (Bagian 1).....	51
Gambar 4.13	Kode sumber fungsi <i>likelihood</i> (Bagian 2).....	52
Gambar 4.14	Kode sumber fungsi <i>expectation_maximization</i>	53
Gambar 4.15	Kode sumber fungsi <i>expectation</i>	54
Gambar 4.16	Kode sumber fungsi <i>maximization</i>	55
Gambar 4.17	Kode sumber fungsi <i>clust_EM</i>	56
Gambar 4.18	Kode sumber proses <i>validate</i>	57
Gambar 4.19	Kode sumber fungsi <i>colouring</i>	58

Gambar 5.1 (a) Contoh objek sel mengandung <i>cluster</i> (b) <i>correctly segmented</i> (c) <i>undersegmentation</i> (d) <i>oversegmentation</i>	61
Gambar 5.2 (a) citra asli heme005 (b) citra segmentasi heme005	71
Gambar 5.3 (a) citra segmentasi heme005 (b) citra visualisasi pemisahan sel darah merah bertumpuk heme005.....	72
Gambar 5.4 (a) citra penentuan titik tengah <i>cluster</i> dengan H-maxima (b) citra visualisasi pemisahan sel darah merah bertumpuk	72

DAFTAR TABEL

Tabel 1 Data pada pemrosesan identifikasi sel darah merah bertumpuk	21
Tabel 2 Hasil pemrosesan data heme004	62
Tabel 3 Hasil akurasi uji coba 1	65
Tabel 4 Perbandingan citra.....	66
Tabel 5 Jumlah segmentasi sel darah merah	69
Tabel 6 Hasil akurasi uji coba 2.....	70

BAB I

PENDAHULUAN

Pada bab ini akan dipaparkan mengenai garis besar Tugas Akhir yang meliputi latar belakang, tujuan, rumusan dan batasan permasalahan, metodologi pembuatan tugas akhir, dan sistematika penulisan. Latar belakang berisi mengenai hal-hal yang melatarbelakangi pemilihan judul Tugas Akhir. Rumusan masalah memuat hal-hal yang harus diselesaikan. Batasan masalah berisi batasan-batasan yang melingkupi pembuatan Tugas Akhir ini. Tujuan berisi tujuan dari pembuatan Tugas Akhir ini. Metodologi membahas mengenai metode pengerjaan Tugas Akhir. Sistematika penulisan membahas sistematika penulisan buku Tugas Akhir sebagai laporan dari pengerjaan Tugas Akhir. Penjelasan tentang hal-hal tersebut diharapkan dapat memberikan gambaran umum mengenai permasalahan sehingga penyelesaian masalah dapat dipahami dengan baik.

1.1 Latar Belakang

Setiap sel yang ada dalam tubuh manusia memegang peranan penting dalam kesehatan manusia. Jumlah sel merupakan salah satu acuan di dalam dunia kedokteran terhadap jenis penyakit, seperti anemia yang disebabkan kurangnya sel darah merah, leukimia yang disebabkan lebihnya jumlah sel darah putih, dan lain-lain. Salah satu sel yang memegang peranan penting di kehidupan adalah sel darah merah.

Penghitungan sel darah merah dapat dilakukan secara manual dengan menggunakan *hemocytometer* dan mikroskop, dan juga secara otomatis dengan menggunakan mesin *hematology analyzer* agar mempermudah penghitungan dan mempercepat proses penghitungan.

Dalam proses penghitungan sel darah merah secara otomatis, salah satu masalah yang ada adalah terdapatnya sel darah merah bertumpuk yang dapat mengakibatkan ketidakakuratan

penghitungan jumlah sel sehingga dapat menimbulkan kesalahan diagnosis yang berkaitan dengan jumlah sel darah merah. Telah banyak metode ataupun penelitian yang dikembangkan untuk mengatasi masalah sel yang bertumpuk, mulai dari permodelan sel menjadi *cluster* [1], penghitungan sel bertumpuk dengan fitur geometri [2] dan sebagainya.

Pada Tugas Akhir ini, identifikasi sel darah merah bertumpuk menggunakan *unsupervised Bayesian classification* pada citra mikroskopik sel darah, pemisahan sel yang bertumpuk akan dimodelkan sebagai suatu *cluster*, kemudian digunakan algoritma *EM (Expectation - Maximization)* untuk mendapatkan hasil parameter yang optimal sebagai nilai masukan *Bayesian classifier*, untuk mengamati *cluster* yang akan dibentuk digunakan *Bayesian classifier* [1]. Kemudian, *cluster validity index* digunakan untuk mengestimasi jumlah sel yang bertumpuk [3]. Diharapkan dengan metode ini dapat mengidentifikasi sel darah merah yang bertumpuk secara optimal.

1.2 Rumusan Masalah

Rumusan masalah yang diangkat dalam Tugas Akhir ini dapat dipaparkan sebagai berikut.

1. Bagaimana cara mengidentifikasi sel darah merah bertumpuk dari *input* citra sel darah merah?
2. Bagaimana cara menampilkan citra pemisahan sel darah merah bertumpuk?
3. Bagaimana cara melakukan penghitungan akurasi jumlah sel darah merah bertumpuk dari *input* citra sel darah merah?

1.3 Batasan Masalah

Tugas Akhir ini mempunyai banyak permasalahan, tetapi tidak semua permasalahan tersebut akan terselesaikan karena terdapat keterbatasan sumber daya. Maka dari itu, dibuat batasan-batasan permasalahan yang ada, antara lain batasannya sebagai berikut:

1. Implementasi menggunakan MATLAB 8.1 R2013a.
2. *Input* citra yang digunakan berasal dari citra mikroskopik sel darah.

1.4 Tujuan dan Manfaat

Tujuan pembuatan Tugas Akhir ini adalah untuk memudahkan penghitungan jumlah sel darah merah agar lebih akurat dengan menampilkan hasil citra pemisahan sel darah merah bertumpuk.

Manfaat dari Tugas Akhir ini yaitu sebuah penerapan metode untuk identifikasi sel darah merah bertumpuk yang diharapkan dapat membantu proses penghitungan jumlah sel darah merah agar lebih akurat.

1.5 Metodologi

Pembuatan Tugas Akhir ini terbagi menjadi beberapa tahap, adapun tahapan-tahapan yang dilakukan dalam pengerjaan Tugas Akhir ini adalah sebagai berikut:

1. Penyusunan Proposal Tugas Akhir
Tahap awal pengerjaan Tugas Akhir adalah menyusun proposal Tugas Akhir. Gagasan yang diajukan pada proposal Tugas Akhir ini membantu mengidentifikasi sel darah merah bertumpuk menggunakan *unsupervised Bayesian classification* pada citra mikroskopik sel darah.
2. Studi literatur
Pada tahap ini dilakukan pencarian informasi dan studi literatur yang diperlukan untuk pengumpulan data dan desain sistem yang akan dibuat. Referensi tersebut berisikan tentang:
 - a. Konsep mengenai *Expectation–Maximization*.
 - b. Konsep mengenai *Gaussian mixture models*.
 - c. Konsep mengenai *Bayesian classifier*.Referensi tersebut dapat dicari dari buku, jurnal, artikel, laporan penelitian, dan situs-situs di internet. Studi literatur

ini adalah terkoleksinya referensi yang relevan dengan perumusan masalah. Tujuannya untuk memperkuat permasalahan serta sebagai dasar teori dalam melakukan studi dan juga menjadi dasar untuk melakukan identifikasi sel darah merah bertumpuk menggunakan *unsupervised Bayesian classification* pada citra mikroskopik sel darah.

3. Analisa dan implementasi sistem

Pada tahap ini dilakukan analisa dan implementasi dari algoritma yang digunakan untuk membangun sistem tersebut. Untuk membangun algoritma yang telah dirancang sebelumnya, diimplementasikan dengan menggunakan Matlab.

4. Pengujian dan evaluasi

Pada tahap ini dilakukan uji coba dengan menggunakan 10 citra mikroskopik sel darah untuk mencoba jalannya aplikasi apakah telah sesuai dengan rancangan dan desain implementasi yang dibuat. Pengujian hasil dilakukan dengan membandingkan hasil dari sistem secara otomatis dengan hasil penghitungan sel darah merah secara manual. Penghitungan akurasi dilakukan dengan 2 cara yaitu:

1. Menghitung akurasi segmentasi dari citra hasil yang didapat dibandingkan dengan citra *ground truth*.
2. Menghitung akurasi sel darah merah yang bertumpuk dengan mempertimbangkan *correctly segmented*, *undersegmented* dan *oversegmented* dari hasil yang didapat.

5. Penyusunan buku Tugas Akhir

Pada tahap ini dilakukan penyusunan laporan yang menjelaskan dasar teori dan metode yang digunakan dalam tugas akhir ini serta hasil dari implementasi aplikasi perangkat lunak yang telah dibuat.

1.6 Sistematika Penulisan Laporan Tugas Akhir

Sistematika penulisan laporan Tugas Akhir adalah sebagai berikut:

1. BAB I. PENDAHULUAN

Bab ini berisi penjelasan mengenai latar belakang masalah, tujuan, dan manfaat dari pembuatan Tugas Akhir. Selain itu juga turut disertakan pula rumusan permasalahan, batasan permasalahan, dan sistematika penulisan pada bab ini.

2. BAB II. TINJAUAN PUSTAKA

Bab ini membahas beberapa teori penunjang yang berhubungan dengan pokok pembahasan dan mendasari pembuatan Tugas Akhir ini, diantaranya : *Expectation–Maximization*, segmentasi citra, *Bayesian classification*, *Gaussian mixture models*, *cluster validity index*, dan sebagainya.

3. BAB III. PERANCANGAN PERANGKAT LUNAK

Bab ini membahas mengenai perancangan perangkat lunak yang terdiri dari perancangan data dan perancangan sistem. Perancangan data berguna untuk menyiapkan dataset sebagai data masukan. Perancangan sistem adalah perancangan metode yang akan diimplementasikan.

4. BAB IV. Implementasi

Bab ini berisi tentang penjelasan dan pembahasan mengenai implementasi program dari rancangan metode yang dijabarkan pada Bab III yang telah dilakukan.

5. BAB V. Pengujian dan Evaluasi

Bab ini berisi penjelasan mengenai data hasil percobaan dan pembahasan mengenai hasil percobaan yang telah dilakukan.

6. BAB VI. Kesimpulan dan Saran

Bab ini berupa hasil penelitian yang menjawab permasalahan atau yang berupa konsep, program, dan rancangan. Selain itu pada bab ini diberikan saran-saran yang berisi hal-hal yang berhubungan dengan penelitian

yang telah dilakukan untuk dikembangkan lebih lanjut atau berisi masalah-masalah yang dialami pada proses pengerjaan Tugas Akhir.

7. Daftar Pustaka

Bab ini berisi daftar pustaka yang dijadikan literatur dalam pengerjaan Tugas Akhir.

8. Lampiran Tugas Akhir

Dalam lampiran terdapat hasil gambar uji coba dan tabel-tabel data hasil uji coba.

BAB II

TINJAUAN PUSTAKA

Bab ini membahas tinjauan pustaka yang digunakan dalam penyelesaian masalah pada Tugas Akhir. Tinjauan Pustaka yang akan dijelaskan terbagi dalam beberapa subbab, yaitu citra digital, segmentasi citra, *Gaussian mixture models*, *Bayesian classification*, *distance transform*, *regional maxima*, *algortima nearest neighbour*, *algoritma Expectation-Maximization*, *cluster validiy index*. Materi-materi tersebut masing-masing akan dijelaskan dalam subbab tersendiri.

2.1 Citra Digital

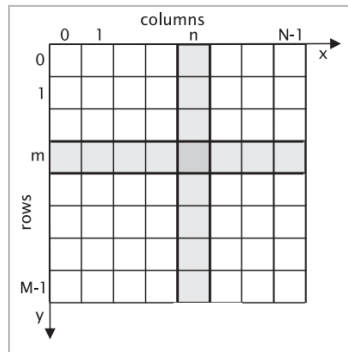
Citra digital merupakan representasi numerik dari citra dua dimensi. Citra dapat berupa foto makhluk hidup, pemandangan, benda mati, mikroskopik, dan sebagainya. Citra digital dapat dibuat menggunakan alat penghasil citra seperti kamera digital, smesin pengukur, mikroskop elektron dan sebagainya.

Suatu citra dapat didefinisikan sebagai fungsi dua dimensi yaitu $f(x, y)$, di mana x dan y merupakan koordinat spasial, dan amplitudo dari f pada pasangan koordinat (x, y) manapun, disebut sebagai intensitas atau tingkat keabuan dari citra di koordinat tersebut. Jika nilai x, y , dan amplitudo dari fungsi f bersifat diskrit dan terbatas, maka dapat disebut sebagai citra digital [4].

Citra digital terdiri dari beberapa elemen dan setiap elemen tersebut memiliki nilai dan lokasi tertentu. Elemen gambar dapat disebut sebagai elemen citra atau piksel. Istilah piksel inilah yang sering dipakai untuk menyatakan elemen dari citra digital.

Letak piksel pada citra dua dimensi umumnya direpresentasikan dalam bentuk matriks. Representasi citra digital ditunjukkan oleh Gambar 2.1. Dari gambar tersebut dapat dilihat bahwa representasi citra digital dua dimensi ditampilkan dalam bentuk susunan kotak-kotak, yang biasa disebut piksel. Indeks m menyatakan posisi baris, dan indeks n menyatakan posisi kolom.

Jika citra digital terdiri dari $M \times N$ piksel, maka akan direpresentasikan dalam bentuk matriks berukuran $M \times N$, di mana indeks m memiliki rentang antara 0 hingga $M-1$ dan indeks n memiliki rentang antara 0 hingga $N-1$. M menyatakan jumlah baris dan N menyatakan jumlah kolom. Sesuai dengan notasi matriks, sumbu vertikal (sumbu y) berjalan dari atas ke bawah dan sumbu horisontal (sumbu x) berjalan dari kiri ke kanan.



Gambar 2.1 Representasi Citra Digital

2.2 Segmentasi Citra

Segmentasi citra adalah suatu proses pengolahan citra yang membagi suatu citra menjadi beberapa objek. Dalam prosesnya dilakukan pembagian dari citra menjadi objek yang homogen / sama berdasarkan kriteria keserupaan yang tertentu antara tingkat keabuan suatu piksel dengan tingkat keabuan piksel-piksel tetangganya. Beberapa contoh dari segmentasi citra adalah *thresholding*, deteksi tepi, deteksi titik, deteksi garis dan sebagainya. Hasil dari proses segmentasi citra sering digunakan untuk melakukan proses tingkat tinggi lebih lanjut yang dapat dilakukan terhadap citra tersebut, misalnya proses klasifikasi citra dan proses identifikasi objek.

2.3 Gaussian Mixture Models

Gaussian mixture models adalah sebuah metode penganalisaan data atau data mining. Metode ini mengelompokkan data-data di dalam suatu *dataset* menjadi kelompok-kelompok data yang sebelumnya tidak terdefinisi dan berdasarkan dari distribusi *Gauss* atau distribusi normal. Distribusi normal adalah kurva yang mempunyai dua parameter, parameter pertama adalah μ atau *mean* dan parameter kedua adalah σ atau standar deviasi. Kumpulan distribusi normal biasa disebut dengan *normal probability density function* atau *normal pdf*.

Multivariate Gaussian mixture models adalah variasi dari *Gaussian mixture models* dimana terdapat dua atau lebih variabel yang dapat mempengaruhi suatu hasil distribusi, salah satu contohnya seperti analisis pengaruh kualitas produk dan harga produk terhadap tingkat penjualan suatu produk.

Parameter dari GMM diantaranya adalah rata-rata suatu sampel (μ), kovarians (Σ) dan probabilitas (τ), namun parameter tersebut nilainya bergantung pada sampel set data, data tersebut terdiri dari variabel independen dan variabel laten [5].

2.4 Bayesian Classification

Bayesian classification adalah klasifikasi statistik yang dapat memprediksi kelas suatu anggota probabilitas. Untuk klasifikasi *Bayes* sederhana yang lebih dikenal sebagai *naïve Bayesian classifier* dapat diasumsikan bahwa efek dari suatu nilai atribut sebuah kelas yang diberikan adalah bebas dari atribut-atribut lain. Asumsi ini disebut *class conditional independence* yang dibuat untuk memudahkan penghitungan [6].

Hasil dari *Bayes classifier* yang didapatkan nanti akan digunakan sebagai penentu suatu sampel data \mathbf{x}_i yang akan dikelompokkan pada *cluster j* dilihat dari nilai probabilitas yang terbesar diantara nilai probabilitas sampel data \mathbf{x}_i dari 1 hingga m .

2.5 Distance Transform

Distance transform adalah salah satu proses transformasi citra biner menjadi citra *distance*, *distance transform* mengubah setiap piksel *foreground* pada image menjadi piksel *distance transform*, piksel *distance transform* didapatkan dari mengukur jarak minimal suatu piksel *foreground* tersebut dengan piksel *background* dengan menggunakan beberapa metode, salah satunya dengan *Euclidean distance*.

0	0	0	0	0	0	0	0	0
0	1	1	1	1	1	1	1	0
0	1	1	1	1	1	1	1	0
0	1	1	1	1	1	1	1	0
0	1	1	1	1	1	1	1	0
0	1	1	1	1	1	1	1	0
0	1	1	1	1	1	1	1	0
0	0	0	0	0	0	0	0	0

→

0	0	0	0	0	0	0	0	0
0	1	1	1	1	1	1	1	0
0	1	2	2	2	2	2	1	0
0	1	2	3	3	2	2	1	0
0	1	2	2	2	2	1	0	0
0	1	1	1	1	1	1	1	0
0	0	0	0	0	0	0	0	0

Gambar 2.2 Perubahan citra biner menjadi citra *distance*

Pada Gambar 2.2 ditampilkan perubahan citra biner menjadi citra *distance*, semakin jauh jarak piksel *foreground* dari piksel *background*, maka semakin besar nilai *distance* yang dimiliki piksel *foreground* tersebut [7].

Beberapa penggunaan *distance transform* pada proses citra digital diantaranya *blurring effects*, *skeletonizing*, *pathfinding* dan sebagainya. Pada Tugas Akhir ini, metode *distance transform* digunakan sebagai pembentukan *Gaussian mixture model* yang kemudian diproses untuk mendapatkan nilai *regional maxima* yang akan dijadikan inisialisasi *cluster* awal.

2.6 Regional Maxima

Regional maxima adalah komponen piksel yang saling terhubung dan memiliki nilai piksel yang lebih besar dibandingkan nilai piksel di sekitarnya, penggunaan *regional maxima* adalah

untuk mendapatkan nilai puncak *maxima* pada suatu region dalam citra [8].

10	10	10	10	10	10	10	10	10	10
10	22	22	22	10	10	44	10	10	10
10	22	22	22	10	10	10	45	10	10
10	22	22	22	10	10	10	10	44	10
10	10	10	10	10	10	10	10	10	10
10	10	10	10	10	33	33	33	10	10
10	10	10	10	10	33	33	33	10	10
10	10	10	10	10	33	33	33	10	10
10	10	10	10	10	10	10	10	10	10
10	10	10	10	10	10	10	10	10	10

Gambar 2.3 *Regional maxima* dari matriks A 10 x 10

Pada Gambar 2.3 ditunjukkan representasi dari *regional maxima* pada matriks A 10 x 10, kumpulan piksel dengan nilai 22 menjadi *regional maxima* karena disekelilingnya terdapat piksel yang lebih kecil nilainya yaitu 10. Pada kumpulan piksel dengan nilai 33 juga memiliki karakteristik yang sama dengan piksel 22. Pada piksel dengan nilai 45, piksel sekelilingnya adalah 44 dan 10, sehingga piksel dengan nilai 45 menjadi titik *regional maxima*, sedangkan piksel dengan nilai 44 tidak menjadi *regional maxima* karena terdapat piksel dengan nilai 45 yang nilainya lebih besar.

Penggunaan *regional maxima* pada Tugas Akhir ini adalah sebagai metode untuk menentukan jumlah *cluster* awal suatu objek sel darah merah. Piksel *regional maxima* yang membentuk kumpulan seperti piksel 33 pada Gambar 2.3 akan dihitung menjadi satu anggota *cluster*, sehingga pada matriks A 10 x 10 memiliki nilai anggota *cluster* sebesar tiga.

Jumlah dari anggota *cluster regional maxima* yang ditemukan seperti pada contoh sebelumnya akan menjadi jumlah *cluster* awal yang akan dipakai pada proses selanjutnya.

2.7 Nearest Neighbour Algorithm

Nearest neighbour algorithm adalah salah satu algoritma *clustering* yang menentukan suatu titik sembarang pada suatu kumpulan sampel data sebagai titik tengah *cluster* (s), penentuan

jumlah *cluster* ditentukan dari inisialisasi awal, jika banyak *cluster* yang ditentukan adalah m , maka terdapat m titik tengah *cluster* (s_1, s_2, \dots, s_m). Kemudian dari titik tengah *cluster* tersebut dilakukan pencarian jarak terpendek suatu piksel \mathbf{x} terhadap titik tengah *cluster* tersebut [6].

$$X = \{x \mid i = \arg \min_k \|x - s_k\|^2, x \in X, 1 \leq k \leq m\} \quad (2.1)$$

Pada Persamaan (2.1), hasil jarak terpendek dari titik tengah *cluster* akan digunakan sebagai penentuan titik sampel piksel \mathbf{x} dikelompokkan ke dalam *cluster* k , namun hasil dari *nearest neighbour algorithm* tidak terlalu optimal dalam proses *clustering*, karena dilakukan inisialisasi titik tengah *cluster* secara *random*.

2.8 Expectation–Maximization Algorithm

Expectation-maximization (EM) algorithm adalah sebuah algoritma untuk mengestimasi suatu nilai di dalam model dari suatu variabel laten yang tidak diketahui, algoritma EM merupakan iterasi yang melakukan penggabungan dari dua proses yaitu proses *expectation* (E) fungsi untuk mengekspetasi nilai parameter yang dianggap memiliki nilai logaritma kemungkinan (*log-likelihood*) yang tinggi dan *maximization* (M) di mana parameter *log-likelihood* yang didapatkan dari proses E dapat dimaksimalkan. Kemudian parameter yang dihasilkan dari proses M dapat digunakan untuk menentukan distribusi dari variabel laten untuk proses E selanjutnya [9].

Implementasi algoritma EM pada GMM bergantung pada sampel *variable independen* dan *variable laten*. Variabel independen dari *Multivariate GMM* dimisalkan \mathbf{X} , dimana $\mathbf{X} = (\mathbf{x}_1, \mathbf{x}_2, \dots, \mathbf{x}_n)$ yaitu sampel berjumlah n yang diperoleh dari *Multivariate GMM*. Nilai dari \mathbf{x}_i adalah $\mathbf{x}_i = [x \ y]$, yaitu posisi atau letak koordinat sampel data i pada suatu GMM. Variabel laten dimisalkan \mathbf{Z} , dimana $\mathbf{Z} = (z_1, z_2, \dots, z_m)$. Pada GMM, variabel \mathbf{Z} menunjukkan *cluster* yang ditentukan sebanyak m .

Tujuan utama dari algoritma EM adalah mengestimasi nilai *likelihood* dengan proses E dan mengoptimalkan nilai *likelihood* dengan proses M, selanjutnya berdasarkan nilai optimal yang didapatkan pada proses M, dilakukan distribusi variable laten terhadap variabel independen, yaitu pengelompokan *cluster*.

Pada algoritma EM, dilakukan proses untuk mencari *unknown parameter* (parameter yang tidak diketahui) dan *missing value* (nilai yang hilang). Parameter yang tidak diketahui dilambangkan dengan θ , seperti yang ditunjukkan pada Persamaan (2.2).

$$\theta = (\tau, \mu_1, \Sigma_1, \mu_2, \Sigma_2, \dots, \mu_m, \Sigma_m) \quad (2.2)$$

Variabel τ adalah *prior probability* yang didapat dari inialisasi pengelompokan awal dari *cluster* z , yang dapat dilambangkan $P(Z_i = 1) = \tau_1, P(Z_i = 2) = \tau_2, \dots, P(Z_i = m) = \tau_m$ dimana $\tau_1 + \tau_2 + \dots + \tau_m = 1$.

Variabel τ_i menunjukkan probabilitas sampel Z_i pada keseluruhan sampel data dimana i menunjukkan *cluster* ke - i . Variabel μ adalah rata-rata dari sampel \mathbf{x} yang merupakan koordinat suatu sampel data, maka μ_i berupa vector yang berisi $[\bar{x}_i \ \bar{y}_i]$ dimana \bar{x}_i adalah rata-rata dari sampel data x yang termasuk pada *cluster* z_i dan \bar{y}_i adalah rata-rata dari sampel data y yang termasuk pada *cluster* z_i .

Variabel Σ adalah matriks kovarian dari sampel \mathbf{x} , untuk mendapatkan matriks kovarian, dilakukan penghitungan dengan sampel \mathbf{x}_i dan μ_i . Karena sampel \mathbf{x}_i merupakan kumpulan dari sampel \mathbf{x} pada *cluster* ke - i , dan isi dari sampel \mathbf{x}_i berbentuk matriks $k \times 2$ dimana k adalah jumlah variabel sampel \mathbf{x} yang termasuk pada *cluster* ke - i . Maka bentuk dari sampel \mathbf{x}_i ditampilkan seperti pada Persamaan (2.3).

$$\mathbf{x}_i = \begin{bmatrix} x_1 & y_1 \\ x_2 & y_2 \\ \cdot & \cdot \\ \cdot & \cdot \\ \cdot & \cdot \\ x_k & y_k \end{bmatrix} \quad (2.3)$$

Matriks $k \times 2$ tersebut akan dipisah menjadi 2 vektor yaitu vector X berukuran $1 \times k$, $X = [x_1, x_2, \dots, x_k]$ dan vector Y berukuran $1 \times k$, $Y = [y_1, y_2, \dots, y_k]$, kemudian dilakukan penghitungan kovarian yang ditunjukkan pada Persamaan (2.4).

$$\sigma_{xy} = \frac{1}{k} \sum_{i=1}^k (x_i - \bar{x})(y_i - \bar{y})^T \quad (2.4)$$

Matriks kovarian akan terbentuk dengan ukuran $m \times m$, dimana m adalah jumlah *cluster* yang telah ditentukan sebelumnya, maka matriks kovarian yang akan dibentuk seperti pada Persamaan (2.5).

$$\boldsymbol{\Sigma} = \begin{bmatrix} \sigma_{x^2} & \sigma_{xy} \\ \sigma_{xy} & \sigma_{y^2} \end{bmatrix} \quad (2.5)$$

Nilai *likelihood* didapatkan dari hasil penghitungan *prior probability* dan *class conditional probability*, dimana *prior probability* dilambangkan dengan τ dan *class conditional probability* dilambangkan dengan $f(\mathbf{x}; \boldsymbol{\mu}, \boldsymbol{\Sigma})$.

Pada GMM, *class conditional probability* adalah *probability density function*, untuk menghitung *class conditional probability* dibutuhkan sampel data \mathbf{x} , rata-rata data $\boldsymbol{\mu}$ dan matriks kovarians $\boldsymbol{\Sigma}$, seperti pada Persamaan (2.6).

$$f(\mathbf{x}, \boldsymbol{\mu}, \boldsymbol{\Sigma}) = \frac{1}{\sqrt{2\pi|\boldsymbol{\Sigma}|}} \exp \left[-\frac{1}{2} (\mathbf{x} - \boldsymbol{\mu})^T \boldsymbol{\Sigma}^{-1} (\mathbf{x} - \boldsymbol{\mu}) \right] \quad (2.6)$$

Kemudian nilai dari $f(\mathbf{x}; \boldsymbol{\mu}, \boldsymbol{\Sigma})$ dikalikan dengan τ dan dijumlah sebanyak m kali, yaitu bergantung dengan jumlah *cluster* nya, maka penghitungan nilai *likelihood* ditunjukkan pada Persamaan (2.7).

$$L(\boldsymbol{\theta}; \mathbf{x}) = \prod_i \sum_{j=1}^m \tau_j f(\mathbf{x}_i; \boldsymbol{\mu}_j, \boldsymbol{\Sigma}_j) \quad (2.7)$$

Dimana n adalah jumlah sampel dari data \mathbf{X} dan m adalah jumlah *cluster* yang ditentukan sebelumnya, sehingga didapatkan nilai *likelihood*.

Pada proses E dilakukan pembentukan nilai dari *likelihood* dan probabilitas anggota (T), pembentukan probabilitas anggota menggunakan teori *bayes classifier* yang di proporsikan menggunakan *prior probability*, seperti pada Persamaan (2.8).

$$T_{j,i}^{(t)} := P(Z_i = j | X_i = \mathbf{x}_i; \boldsymbol{\theta}^{(t)}) = \frac{\tau_j^{(t)} f(\mathbf{x}_i, \boldsymbol{\mu}_j^{(t)}, \boldsymbol{\Sigma}_j^{(t)})}{\tau_1^{(t)} f(\mathbf{x}_1, \boldsymbol{\mu}_1^{(t)}, \boldsymbol{\Sigma}_1^{(t)}) + \tau_2^{(t)} f(\mathbf{x}_i, \boldsymbol{\mu}_2^{(t)}, \boldsymbol{\Sigma}_2^{(t)}) + \dots + \tau_m^{(t)} f(\mathbf{x}_i, \boldsymbol{\mu}_m^{(t)}, \boldsymbol{\Sigma}_m^{(t)})} \quad (2.8)$$

Dimana (t) menunjukkan kondisi sekarang atau kondisi awal saat proses E dilakukan, berikutnya setelah proses M dijalankan dan kembali pada proses E, maka (t) menjadi $(t + 1)$. T akan berbentuk sebuah matriks dengan ukuran $m \times n$ yang berbanding dengan jumlah *cluster* \times jumlah sampel.

Pada proses M dilakukan kembali penghitungan mencari nilai *prior probability* (τ), rata-rata sampel ($\boldsymbol{\mu}$) dan matriks kovarians sampel ($\boldsymbol{\Sigma}$) berdasarkan nilai T yang didapatkan pada proses E. Penghitungan $\tau^{(t+1)}$ yang baru dilakukan dengan melibatkan probabilitas anggota (T) seperti pada Persamaan (2.9).

$$T_{j,i}^{(t+1)} = \frac{\sum_{i=1}^n T_{j,i}^{(t)}}{\sum_{i=1}^n (T_{1,i}^{(t)} + T_{2,i}^{(t)} + \dots + T_{m,i}^{(t)})} \quad (2.9)$$

Jumlah dari prior probability yang baru melibatkan probabilitas anggota pada *cluster j* dibagi dengan jumlah dari semua probabilitas anggota dari *cluster 1* hingga *cluster m*.

Pembentukan rata-rata sampel ($\boldsymbol{\mu}^{(t+1)}$) yang ditunjukkan pada Persamaan (2.10) dan matriks kovarians ($\boldsymbol{\Sigma}^{(t+1)}$) yang ditunjukkan pada Persamaan (2.11) juga dipengaruhi oleh probabilitas anggota (T) dengan rumusan untuk masing-masing variabel.

$$\boldsymbol{\mu}_j^{(t+1)} = \frac{\sum_{i=1}^n T_{j,i}^{(t)} \mathbf{x}_i}{\sum_{i=1}^n T_{j,i}^{(t)}} \quad (2.10)$$

$$\boldsymbol{\Sigma}_j^{(t+1)} = \frac{\sum_{i=1}^n T_{j,i}^{(t)} (\mathbf{x}_i - \boldsymbol{\mu}_j^{(t+1)})(\mathbf{x}_i - \boldsymbol{\mu}_j^{(t+1)})^T}{\sum_{i=1}^n T_{j,i}^{(t)}} \quad (2.11)$$

Kemudian dari hasil $\boldsymbol{\mu}^{(t+1)}$ dan $\boldsymbol{\Sigma}^{(t+1)}$ yang baru dilakukan pencarian *likelihood* yang baru $L(\boldsymbol{\theta} ; \mathbf{x})^{t+1}$ yang akan dibandingkan dengan *likelihood* yang lama.

Perulangan dari proses algoritma EM akan diakhiri jika nilai *log-likelihood* yang baru lebih dari atau sama dengan *log-likelihood* yang lama seperti pada Persamaan (2.12).

$$\log L(\boldsymbol{\theta} ; \mathbf{x})^t \leq \log L(\boldsymbol{\theta} ; \mathbf{x})^{t+1} \quad (2.12)$$

2.9 Cluster Validity Index

Cluster validity index adalah tingkat kevalidan suatu *cluster* yang ada terhadap suatu sampel data. Penggunaan *cluster validity*

index sangat penting untuk menentukan apakah jumlah *cluster* yang ditentukan telah optimal atau belum, terdapat beberapa cara untuk menentukan *cluster validity index*, salah satunya adalah dengan menggunakan penggabungan antara fungsi *separation* dan *compactness* [3].

$$V(m) = \frac{\varepsilon(m)}{\varphi(m)} \quad (2.13)$$

Pada Persamaan (2.13), $V(m)$ adalah *cluster validity index* yang merupakan hasil bagi antara *separation* dan *compactness*, nilai dari *separation* adalah hasil dari jumlah diagonal elemen pada *weighted between scatter matrix* yang ditunjukkan pada Persamaan (2.14).

$$\varepsilon = \text{trace}(S) \quad (2.14)$$

Variabel S menunjukkan *between scatter matrix* yang mempunyai bobot dan dapat didefinisikan pada Persamaan (2.15).

$$S = \sum_{i=1}^m \sum_{k=1}^n p_{ki} (m_i - \bar{m})(m_i - \bar{m})^T \quad (2.15)$$

Dimana variabel m adalah jumlah *cluster*, n adalah jumlah piksel sampel data, p_{ki} adalah *posterior probability*, m_i adalah titik tengah *cluster* ke- i , dan \bar{m} adalah titik tengah sampel data. Kemudian nilai dari *compactness* adalah hasil dari jumlah diagonal elemen pada *normalized covariance matrix* seperti pada Persamaan (2.16).

$$\varphi = \sum_{i=1}^m \text{trace}(C) \quad (2.16)$$

Variabel C menunjukkan *normalized covariance matrix* yang mempunyai bobot dan didefinisikan pada Persamaan (2.17).

$$C = \frac{\sum_{k=1}^n p_{ki} (x_k - m_i)(x_k - m_i)^T}{\sum_{k=1}^n p_{ki}} \quad (2.17)$$

Dimana variabel m adalah jumlah *cluster*, n adalah jumlah piksel sampel data, p_{ki} adalah *posterior probability*, x_k adalah titik sampel piksel ke - k dan m_i adalah titik tengah *cluster* ke- i .

BAB III

PERANCANGAN PERANGKAT LUNAK

Bab ini menguraikan perancangan sistem dari identifikasi sel darah merah bertumpuk menggunakan *unsupervised Bayesian classifier*. Perancangan yang diuraikan meliputi lingkungan perancangan perangkat lunak, perancangan data, dan perancangan serta *pseudocode* proses.

3.1 Lingkungan Perancangan Perangkat Lunak

Proses perancangan perangkat lunak Tugas Akhir ini membutuhkan lingkungan perancangan yang sesuai. Tahapan implementasi dan pengujian dilakukan dengan menggunakan perangkat keras dan perangkat lunak yang digunakan untuk proses identifikasi sel darah merah bertumpuk pada citra mikroskopis sel menggunakan *unsupervised Bayesian classification*.

Perangkat keras yang digunakan mempunyai spesifikasi sebagai berikut:

- Laptop ASUS A450L
 - Windows 8.1 64-bit.
 - Prosesor Intel(R) Core(TM) i5-4200U CPU @ 1.60GHz.
 - RAM : 4 GB.

Sedangkan perangkat lunak yang digunakan adalah:

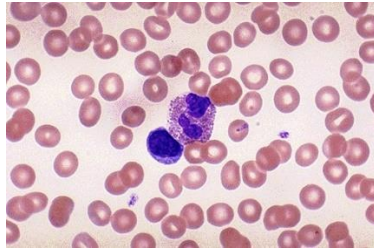
- Windows 8.1 64-bit sebagai sistem operasi.
- MATLAB 8.1 R2013a sebagai aplikasi pendukung.

3.2 Perancangan Data

Perancangan data sangat diperlukan agar perangkat lunak dapat berjalan dengan baik dan benar. Data yang diperlukan dalam suatu perangkat lunak dibagi menjadi tiga, yaitu data masukan (*input*), data proses yaitu data hasil proses sistem, dan data keluaran (*output*) yaitu data hasil keluaran akhir dari sistem.

3.2.1 Data Masukan

Data masukan yang digunakan dalam sistem ini adalah kumpulan data citra mikroskopis sel darah. Kumpulan citra darah tersebut terdiri dari 10 buah citra mikroskopis sel darah. Tiap citra terdiri dari sel darah merah, sel darah putih, keping darah, dan *background*. Gambar 3.1 merupakan sampel yang akan digunakan sebagai masukan pada sistem.



Gambar 3.1 Sampel Citra Mikroskopis Sel Darah

3.2.2 Data Proses

Data proses adalah data yang dihasilkan pada tahapan *Preprocessing* dan Segmentasi sel darah merah. dan data ini digunakan untuk proses selanjutnya. Data proses yang digunakan meliputi nama data, tipe data, dan keterangannya. Data proses secara detail disajikan pada Tabel 1.

Tabel 1 Data pada pemrosesan identifikasi sel darah merah bertumpuk

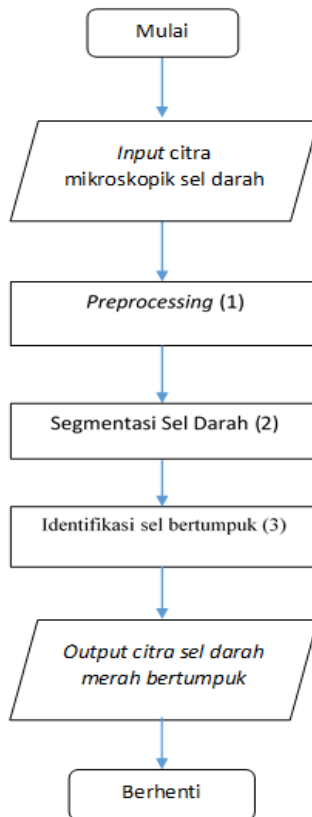
No.	Nama Data	Tipe Data	Keterangan
1	Citra biner sel darah	<i>binary</i>	Citra hasil <i>preprocessing</i> dari <i>input</i> citra RGB sel darah
2	Citra biner sel darah merah	<i>binary</i>	Citra hasil segmentasi dari <i>input</i> citra biner sel darah
3	Matriks sampel data objek sel darah merah	<i>binary</i>	Matriks hasil pemotongan tiap objek dari citra biner sel darah merah
4	Matriks <i>cluster</i> sampel data objek sel darah merah	<i>binary</i>	Matriks hasil dari proses <i>cluster validation</i> , dan intensitas dari matriks tersebut berupa label yang menunjukkan anggota <i>cluster</i> , misal : piksel dengan intensitas '3' maka termasuk <i>cluster</i> ke 3
5	Citra visualisasi pemisahan sel darah merah yang bertumpuk	RGB	Citra hasil visualisasi pemisahan sel darah merah yang bertumpuk didapatkan dari Matriks <i>cluster</i> , citra tersebut merupakan hasil konversi dari <i>binary</i> label menjadi RGB

3.2.3 Data Keluaran

Data keluaran berupa citra hasil penambahan masukan citra RGB mikroskopis sel darah dan citra visualisasi pemisahan sel darah merah bertumpuk.

3.3 Perancangan serta *Pseudocode* proses

Bagian ini menjelaskan mengenai rancangan model metode dan proses pada bab sebelumnya dengan menggunakan *pseudocode* dan diagram alir. Bagan utama dari proses identifikasi sel darah merah bertumpuk ditunjukkan pada Gambar 3.2.



Gambar 3.2 Diagram alir tahapan identifikasi sel darah merah bertumpuk pada citra sel darah merah

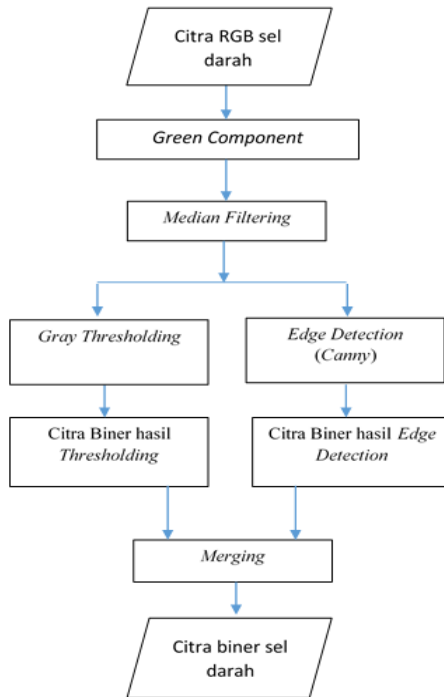
Pada diagram alir bagan utama terdapat tiga tahapan yang dilakukan, yaitu: *Preprocessing*, Segmentasi sel darah dan Identifikasi sel bertumpuk yang akan dibahas rinciannya pada subbab berikutnya.

3.3.1 Preprocessing

Tahap 1 yaitu *Preprocessing* adalah tahapan untuk mengubah input citra mikroskopik sel darah menjadi citra biner sel darah merah dilakukan sebanyak lima proses yaitu *Green Component*, *Median Filtering*, *Gray Thresholding*, *Edge detection (canny)*, dan *Merging*. Lima proses tersebut dilakukan pada *input* citra sel darah, hasil dari proses tersebut akan dilanjutkan pada proses selanjutnya. Alur dari *preprocessing* ditunjukkan pada Gambar 3.3.

Pada Gambar 3.3, tahapan *Preprocessing* diawali dengan memproses citra RGB sel darah menjadi citra *green component* langkah ini dilakukan agar dapat menghilangkan sel darah putih pada proses selanjutnya. Kemudian dilakukan *filtering* terhadap *noise* dengan menggunakan *median filtering* yang dapat digunakan untuk mengurangi *noise* bintik - bintik atau disebut juga '*salt and pepper*' *noise* pada citra.

Gray thresholding digunakan untuk mengubah derajat keabuan pada citra yang akan digunakan untuk memisahkan obyek dan latar belakang citra. Jika derajat keabuan suatu piksel lebih besar dari batas *thresholding*, maka piksel tersebut dapat disebut objek dan jika derajat keabuan suatu piksel tersebut lebih kecil dari batas *thresholding*, maka piksel tersebut disebut latar belakang citra (*background*). Setelah itu citra *grayscale* tersebut dikonversi menjadi citra biner.



Gambar 3.3 Diagram alir tahapan *Preprocessing*

Citra biner yang dihasilkan nantinya kemungkinan akan memiliki bentuk lubang seperti cincin hal ini disebabkan karena saat pengambilan citra RGB tersebut terkena cahaya sehingga saat dilakukan proses pengubahan biner, daerah tersebut dianggap sebagai latar belakang citra / *background*.

Lubang dalam citra biner tersebut dapat didefinisikan sebagai sekumpulan piksel *background* yang dikelilingi dan tertutup oleh piksel *foreground*. Sehingga dapat menyebabkan terjadinya dua jenis lubang yang harus diperbaiki, yaitu:

- a. Bentuk lubang tertutup seperti cincin pada objek sel
- b. Bentuk lubang terbuka pada objek sel
- c. Bentuk lubang terbuka yang bersentuhan dengan tepi

Perbaikan citra untuk lubang pertama dapat menggunakan operasi pengisian area *foreground* yang berlubang dengan menggunakan fungsi bawaan MATLAB yaitu *imfill*, untuk perbaikan lubang kedua dilakukan operasi *merging canny edge detection* dan citra biner. *Canny edge detection* mampu mendeteksi batas tepi citra, sehingga akan menutup tepi piksel yang terbuka. Setelah tepi piksel tertutup, langkah berikutnya adalah dilakukan proses operasi *imfill*.

Untuk objek yang terdapat di tepi citra yang memiliki masalah seperti pada kasus ke dua akan diatasi dengan merubah piksel yang terkena tepi dan mempunyai tetangga nilai piksel nya menjadi 1 sehingga akan tertutup, kemudian dilakukan proses *imfill*.

Pada Gambar 3.4 dan Gambar 3.5 merupakan *pseudocode* dari tahapan *Preprocessing*, hasil akhir dari proses ini adalah citra biner yang lebih maksimal tingkat ketepatan sel nya dibandingkan citra biner sebelumnya.

Masukan: citra RGB sel darah

1. Konversi masukan Citra RGB menjadi green component
2. Melakukan proses median filtering dari citra green component
3. Membuat dua citra hasil dari median filtering dan dilakukan dua proses pada kedua citra tersebut, yaitu gray thresholding dan edge detection canny
4. Hasil proses thresholding akan dirubah menjadi citra biner, kemudian dilakukan komplemen dari citra tersebut

Gambar 3.4 Pseudocode dari tahapan *Preprocessing* (Bagian 1)

5. Hasil proses dari edge detection canny adalah bentuk tepi dari sel dan merupakan citra biner
6. Menggabungkan dua citra hasil dari dua proses diatas menjadi satu citra biner sel yang baru
7. Dilakukan pengisian lubang dari hasil citra biner pada proses sebelumnya pada setiap sel

Keluaran: citra biner sel darah

Gambar 3.5 Pseudocode dari tahapan *Preprocessing* (Bagian 2)

3.3.2 Segmentasi Sel Darah Merah

Citra biner sel darah putih dan platelet merupakan *background* yang tidak dibutuhkan karena yang akan diproses pada tahapan identifikasi sel bertumpuk hanyalah citra biner sel darah merah. Oleh sebab itu citra biner sel darah putih harus dihilangkan. Alur dari proses pemisahan citra biner sel darah merah dengan *background* yang tidak diperlukan seperti terlihat pada Gambar 3.6.



Gambar 3.6 Diagram alir tahapan Segmentasi

Pada tahapan ini citra sel darah putih dihilangkan dengan operasi *masking*. Citra sel darah putih dapat dikenali karena memiliki ukuran yang relatif lebih besar dibandingkan sel darah merah tunggal, dan juga memiliki warna yang kontras yakni biru keunguan.

Sedangkan citra platelet memiliki ukuran yang relatif lebih kecil sehingga untuk menghilangkannya cukup dengan menggunakan operasi morfologi *open* bawaan MATLAB yaitu *bwareaopen*.

Gambar 3.7 merupakan *pseudocode* dari proses penghilangan sel darah putih pada citra biner.

<p>Masukan: citra RGB sel darah, citra biner sel darah</p> <ol style="list-style-type: none"> 1. Melakukan deteksi objek sel darah putih berdasarkan warna objek dari citra RGB sel darah 2. Mengambil hasil dari deteksi objek dengan menggunakan intensitas hasil piksel yang baru sehingga menjadi citra biner sel darah putih 3. Dilakukan proses dilasi untuk memperlebar ukuran dari citra biner sel darah putih dan dilakukan pembersihan noise kecil 4. Menghilangkan objek biner sel darah putih dari citra biner sel darah dengan melakukan proses pengurangan citra <p>Keluaran: citra biner sel darah merah</p>

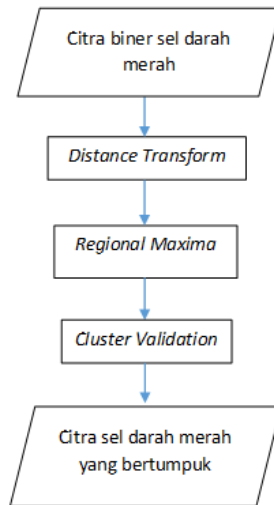
Gambar 3.7 Pseudocode dari segmentasi sel darah merah

3.3.3 Identifikasi Sel Bertumpuk

Identifikasi sel bertumpuk adalah tahapan dilakukannya identifikasi sel darah merah bertumpuk dari citra *regional maxima* yang didapat dari citra hasil *distance transform* dan citra biner dari tahapan sebelumnya. Terdapat 3 proses yaitu: *distance transform*, *regional maxima*, *cluster validation* seperti yang ditunjukkan pada Gambar 3.8.

Hasil dari segmentasi citra sebelumnya menghasilkan citra biner sel darah merah yang telah bersih tanpa ada objek sel darah

putih ataupun platelet. Kemudian dari citra biner sel darah tersebut dilakukan proses *distance transform* untuk membuat *distance image* dan *regional maxima* yaitu proses pencarian titik *regional maxima* dari *distance image* untuk mendapatkan nilai inisialisasi titik tengah *cluster* dan nilai jumlah *cluster* untuk setiap objek sel darah merah yang sedang di proses.



Gambar 3.8 Diagram alir tahapan Identifikasi sel bertumpuk

Pada proses *distance transform*, citra sel biner darah merah tersebut dirubah menjadi *distance image*, agar dapat dimodelkan menjadi distribusi *Gaussian*. *Distance image* nantinya akan dipakai sebagai masukan pada proses *regional maxima*.

Proses *regional maxima* sendiri digunakan untuk inisialisasi *cluster* awal dari *distance image* yang nanti akan diproses keoptimalannya pada proses *cluster validation*.

Pada Gambar 3.9 ditunjukkan *pseudocode* dari proses *distance transform* dan *regional maxima* yang menghasilkan

keluaran titik tengah *cluster* setiap objek sel darah merah, dan jumlah *cluster* yang terbentuk setiap objek sel darah merah.

<p>Masukan: citra biner sel darah merah</p> <ol style="list-style-type: none"> 1. Melakukan deteksi objek sel darah merah dan dilakukan pelabelan untuk setiap objek sel darah merah yang ditemukan 2. Melakukan proses distance transform pada setiap objek sel darah merah yang ditemukan 3. Melakukan proses pencarian regional maxima dari setiap objek hasil distance transform sel darah merah 4. Melakukan pengelompokan dari hasil regional maxima yang ditemukan dan disimpan pada array of array variabel <code>ovlpdistg</code> 5. Mencari nilai rata-rata posisi dari setiap variabel <code>ovlpdistg</code> sehingga menjadi inisialisasi titik tengah <i>cluster</i> pada setiap objek sel darah merah dan disimpan pada array variabel <code>centinit</code> 6. Mencari jumlah anggota variabel <code>centinit</code> untuk setiap objek sel darah merah sebagai jumlah <i>cluster</i> awal yang disimpan pada variabel <code>nb</code> <p>Keluaran: variabel <code>centinit</code>, variabel <code>nb</code></p>
--

Gambar 3.9 Pseudocode dari proses *distance transform* dan *regional maxima*

Proses *cluster validation* dilakukan untuk menghitung jumlah sel darah merah bertumpuk dari *cluster* yang telah terbentuk. Pada *cluster validation* terdapat *cluster validity index* yang dipakai sebagai acuan jumlah *cluster* yang optimal dan dipakai [1].

Untuk setiap objek sel darah merah pada citra biner sel darah merah, dilakukan proses *cluster validation*. Pseudocode dari identifikasi sel bertumpuk yang memproses keseluruhan citra biner sel darah merah yang dilakukan ditunjukkan pada Gambar 3.10.

Masukan : seluruh objek sel darah merah (seed)

1. Lakukan iterasi A sebanyak jumlah objek sel darah merah pada citra biner sel darah merah, sehingga terdapat objek sel darah merah yang dapat diakses dari indeks - i hingga jumlah objek sel darah merah. Matriks $seed\{i\}$ menunjukkan objek pada indeks - i .
2. Lakukan inisialisasi posisi setiap objek $seed\{i\}$
3. Lakukan proses $clusterValidation$
4. Jika semua objek sudah diproses maka keluar dari iterasi A

Keluaran : objek seed yang telah ditentukan jumlah dan bentuk *cluster* secara optimal

Gambar 3.10 Proses identifikasi sel bertumpuk seluruh objek

Pengerjaan dari proses *cluster validation* melibatkan algoritma EM dan *H-maxima transform* yang telah dijelaskan sebelumnya pada subbab 2.8. Pada Gambar 3.11 dan Gambar 3.12 ditampilkan *pseudocode* untuk *cluster validation*.

Masukan : sampel objek sel darah merah, nilai cardinalitas regional maxima

1. Inisialisasi jumlah *seed* $m = \# \text{ regional maxima}$
2. Inisialisasi indeks *cluster validity* maksimal $V_{maks} = -\infty$
3. Inisialisasi nilai *depth* $\lambda = 0$
4. Selama $m > 1$, lakukan langkah 5 - 15
5. Ulangi langkah 6 - 7 hingga $\# \text{ regional maxima } H_{\lambda}(\mathbf{I}) \geq m$
6. Perbarui nilai *depth* $\lambda = \lambda + 1$
7. Evaluasi nilai transformasi $H_{\lambda}(\mathbf{I})$
8. Hentikan perulangan bila nilai $\# \text{ regional maxima } H_{\lambda}(\mathbf{I}) \geq m$
9. Jika $\# \text{ regional maxima } H_{\lambda}(\mathbf{I}) = m$, lakukan langkah 10 - 14
10. Konstruksi set R dari $H_{\lambda}(\mathbf{I})$ dengan algoritma *nearest neighbour*
11. Lakukan algoritma EM
12. Estimasi indeks *cluster validity* $V(m)$

Gambar 3.11 Pseudocode dari cluster validation (Bagian 1)

13. Jika $V(m) > V_{maks}$, maka lakukan langkah 14
14. Perbarui nilai $V_{maks} = V(m)$, $\hat{m} = m$, $\hat{R} = R$
15. Perbarui nilai $m = m - 1$
16. Akhir iterasi

Keluaran : bentuk *cluster* sampel objek sel darah merah yang optimal

Gambar 3.12 Pseudocode dari *cluster validation* (Bagian 2)

Proses cluster validation dilakukan terus menerus hingga nilai dari m sama dengan dua, karena *cluster validation* hanya melakukan pengecekan pada sel darah merah bertumpuk. Variabel \hat{m} adalah nilai dari *cluster validity index* yang telah dilakukan maksimasi seperti pada Persamaan (3.1).

$$\hat{m} = \arg \max_m \frac{\epsilon(m)}{\varphi(m)} \quad (3.1)$$

3.3.3.1 Fungsi H-Maxima

Pada proses *cluster validation*, baris nomor 4 hingga 7 terdapat perulangan mencari nilai *cluster* yang akan di proses menggunakan fungsi *H-Maxima*.

Fungsi *H_maxima* digunakan sebagai pembentukan batas *cluster* yang dijadikan sebagai inisialisasi *cluster* pada algoritma EM, penggunaan *H-maxima* menekan jumlah *regional maxima* yang tidak pasti atau semu dengan menggunakan parameter nilai *depth* yang terus bertambah. *Pseudocode* dari fungsi perulangan H-maxima ditunjukkan pada Gambar 3.13 dan Gambar 3.14.

Masukan: variabel subImage, variabel nb

1. inisialisasi nilai h-maxima $cdhmax = -inf$
2. lakukan iterasi A hingga nilai h-maxima $> \text{nilai cluster}$

Gambar 3.13 Pseudocode dari fungsi *H_Maxima* (Bagian 1)

3. lakukan proses h-maxima transform dengan $depth = depth + 0.05$, $subImagehm = imhmax(subImage, depth)$
4. lakukan proses regional maxima dari hasil h-maxima transform, $subzhm = imregionalmax(subImagehm)$
5. lakukan pencarian titik tengah *cluster* dan jumlah *cluster* yang terbentuk dari hasil proses regional maxima,
6. mengubah nilai variabel *cdhmax* menjadi nilai jumlah *cluster* yang terbentuk
7. kembali ke baris nomor 2
8. jika nilai *cdhmax* \geq nilai *cluster* maka lanjutkan ke proses *ClusterValidity*

Keluaran: titik tengah cluster yang baru

Gambar 3.14 Pseudocode dari fungsi *H_Maxima* (Bagian 1)

3.3.3.2 Fungsi Nearest Neighbour

Pada proses *cluster validation* baris nomor 10 terdapat fungsi konstruksi set R menggunakan *nearest neighbour*. Fungsi *nearest_neighbour* dilakukan untuk membentuk inisialisasi *cluster* dengan membandingkan jarak terdekat suatu sampel piksel terhadap titik piksel yang menjadi acuan, seperti yang telah dijelaskan pada subbab 2.1. *Pseudocode* dari fungsi *nearest neighbour* ditunjukkan pada Gambar 3.15 dan Gambar 3.16.

Masukan: variabel *subImage*, variabel *posa* (anggota set), variabel *posb* (titik *cluster*), variabel jumlah *cluster*, variabel jumlah piksel

1. Inisialisasi variabel *seed* yang mempunyai ukuran sama dengan *subImage*
2. Lakukan iterasi A sebanyak jumlah piksel *subImage*
3. Lakukan iterasi B sebanyak jumlah *cluster*
4. Dilakukan inisialisasi awal variabel untuk menyimpan nilai minimal jarak $minSeed = -inf$.
5. Dilakukan inisialisasi nilai *clusSeed* = 0 yang akan dipakai untuk menyimpan nilai *cluster* suatu piksel.

Gambar 3.15 Pseudocode dari fungsi *nearest_neighbour* (Bagian 1)

6. Dilakukan inisialisasi nilai `clusSeed = 0` yang akan dipakai untuk menyimpan nilai `cluster` suatu piksel.
7. Dilakukan penghitungan jarak minimal `posa - posb` hingga iterasi B selesai
8. Simpan nilai minimal dari penghitungan jarak, nilai `cluster` yang disimpan adalah indeks dari iterasi B saat mendapatkan jarak paling minimal
9. Hitung semua jarak minimal anggota set hingga iterasi A berakhir
10. Simpan nilai `cluster` yang didapatkan pada matriks `Seed`, dan nilai `cluster` adalah nilai piksel `Seed`

Keluaran : matriks `seed`

Gambar 3.16 Pseudocode dari fungsi `nearest_neighbour` (Bagian 2)

Hasil dari fungsi `nearest_neighbour` kemudian menjadi masukan dari proses `clust assign` yang akan menghitung nilai parameter awal seperti rata-rata (μ) dan kovarians (Σ) kemudian juga dilakukan penghitungan titik tengah `cluster` yang baru dan juga probabilitas prior (τ). yang akan menjadi masukan untuk algoritma EM.

3.3.3.3 Fungsi `Clust Assign`

Fungsi `clust_assign` merupakan proses lanjutan dari `nearest neighbour`. Pada proses ini dilakukan inisialisasi pencarian parameter yang tidak diketahui (*unknown parameter*) yaitu : rata-rata (μ), *prior probability* (τ), dan matriks kovarian (Σ) yang dapat diperoleh dari sampel set yang telah terbentuk `cluster` nya seperti yang telah dijelaskan pada subbab 2.8. Pseudocode dari fungsi `clustAssign` ditunjukkan pada Gambar 3.17 dan Gambar 3.18.

Masukan: matriks `seed`, variabel jumlah `cluster`, variabel jumlah piksel

1. Inisialisasi variabel `cluste` yang akan dipakai untuk menyimpan titik tengah `cluster`

Gambar 3.17 Pseudocode dari fungsi `clust_assign` (Bagian 1)

2. Inisialisasi variabel `cellprob` untuk menyimpan nilai probabilitas prior masing-masing `cluster`
3. Lakukan iterasi A mulai dari `i=1` hingga sebanyak jumlah `cluster`
4. Lakukan pencarian nilai piksel apda matriks `seed` yang sama dengan nilai indeks iterasi `cluster`
5. Hitung jumlah elemen dari `cluster i` kemudian dibagi dengan jumlah elemen set maka didapatkan probabilitas prior
6. Hitung rata-rata posisi `(x,y)` dari `cluster i` sehingga didapatkan vektor rata-rata `cluster i`
7. Hitung kovarians posisi `(x,y)` dari `cluster I` sehingga didapatkan matriks kovarians `cluster i`
8. Iterasi A berakhir
9. Simpan nilai seluruh nilai dalam satu struct bernama `cell`

Keluaran : struct `cell` yang berisi vektor rata-rata, matriks kovarians dan vektor probabilitas prior

Gambar 3.18 Pseudocode dari fungsi `clust_assign` (Bagian 2)

3.3.3.4 Fungsi Likelihood

Pada fungsi `clust_assign` telah didapatkan parameter awal rata-rata (μ), kovarians (Σ) dan probabilitas prior (τ), maka perlu dilakukan proses penghitungan nilai *likelihood* terlebih dahulu dengan menggunakan fungsi *likelihood*. Pseudocode fungsi *likelihood* ditunjukkan pada Gambar 3.19 dan Gambar 3.20.

Masukan: parameter probabilitas prior (p), rata-rata (M) dan kovarians (V), sampel set (X), jumlah `cluster` (m)

1. Inisialisasi nilai variabel `total=0`
2. Lakukan iterasi A sebanyak jumlah piksel sampel set (X)
3. Lakukan iterasi B sebanyak jumlah `cluster` (m)
4. Hitung `d1` yaitu selisih dari X dan M
5. Jika nilai determinan V pada indeks `ke- j` dari $m \neq 0$

Gambar 3.19 Pseudocode dari fungsi *likelihood* (Bagian 1)

```

6. Maka nilai loglikelihood = log(p(j)) -
   0.5*log(det(V{j}))-0.5*(d1')*inv(V{j})*(d1)-log(2*pi);
7. Jika nilai determinan V pada indeks ke- j dari m == 0
8. Maka nilai loglikelihood = 0
9. Nilai total=total+loglikelihood
10. Keluar dari iterasi B jika semua indeks telah terakses
11. Keluar dari iterasi A jika semua indeks telah terakses

Keluaran: nilai loglikelihood

```

Gambar 3.20 Pseudocode dari fungsi *likelihood* (Bagian 2)

Proses dilakukannya pencarian *likelihood* menggunakan parameter rata-rata (μ), *prior probability* (τ), dan matriks kovarian (Σ) dan digunakan pula penghitungan hasil perkalian *class conditional probability* dan *prior probability* dan dihitung sesuai jumlah sampel (X) seperti yang telah dijelaskan pada subbab 2. Pada baris ke 5 terdapat kondisi yang menyangkut tentang determinan dari matriks V , hal ini dilakukan agar proses tidak menghitung matriks singular yang dapat menyebabkan error karena tidak adanya nilai invers dari matriks V pada indeks ke $-j$ tersebut.

3.3.3.5 Fungsi Expectation-Maximization

Nilai parameter awal yang didapat dari fungsi *clust_Assign* menjadi masukan bagi fungsi *expectation* dan *maximization* hingga didapatkan nilai parameter baru rata-rata (μ), kovarians (Σ) dan probabilitas prior (τ) yang memenuhi nilai *likelihood* yang optimal. *Pseudocode* algoritma EM ditunjukkan pada Gambar 3.21. Untuk penjelasan dari proses *Expectation-Maximization* telah dibahas pada subbab 2.8.

Masukan: parameter probabilitas prior, rata-rata dan kovarians, sampel set, jumlah *cluster*, nilai likelihood

1. Inisialisasi nilai likelihood lama=inf
2. Lakukan iterasi A hingga Likelihood baru > Likelihood lama
3. Melakukan proses expectation dengan parameter probabilitas prior, rata-rata dan kovarians sehingga mendapatkan matriks dengan ukuran sampel set x banyak *cluster*
4. Hasil dari proses expectation yaitu bayesian classifier menjadi masukan bagi proses maximization, kemudian didapatkan nilai parameter yang baru
5. Hitung likelihood yang baru dengan parameter nilai yang baru menggunakan proses likelihood
6. Kembali ke proses no 1

Keluaran : nilai parameter yang optimal, likelihood yang optimal, bayesian classifier yang optimal

Gambar 3.21 Pseudocode dari iterasi expectation_maximization

3.3.3.6 Fungsi Clust EM

Pada fungsi *clust_EM*, hasil *Bayesian classifier* dari fungsi EM yang optimal akan menjadi penentu suatu piksel masuk pada *cluster* mana dan ditunjukkan pada proses *clust EM*. *Pseudocode* dari fungsi *clust_EM* ditunjukkan pada Gambar 3.22 dan Gambar 3.23.

Masukan: bayesian classifier yang optimal, variabel sampel set, matriks seed

1. Inisialisasi matriks seed yang akan dijadikan penyimpanan nilai *cluster* piksel yang baru
2. Lakukan iterasi A sebanyak jumlah elemen sampel set
3. Lakukan inisialisasi variabel max = 0 dan maxclust = 0 untuk menyimpan nilai maksimal bayesian classifier dan nilai indeks *cluster*
4. Lakukan iterasi B sebanyak jumlah *cluster*

Gambar 3.22 Pseudocode dari fungsi *clust_EM* (Bagian 1)

5. Melakukan operasi logika, membandingkan nilai maksimal bayesian classifier, kemudian jika ditemukan nilai yang paling maksimal, maka nilai `maxclust` = indeks dari iterasi B
6. Keluar dari iterasi B, dan mengisi nilai seed dengan nilai `cluster` yang baru
7. Keluar dari iterasi A
8. Lakukan iterasi C sebanyak jumlah `cluster`
9. Lakukan penghitungan probabilitas prior dan nilai titik tengah `cluster`
10. Keluar dari iterasi C

Keluaran: matriks seed yang berisi pembagian `cluster`, titik tengah `cluster` dan probabilitas prior yang baru

Gambar 3.23 Pseudocode dari fungsi `clust_EM` (Bagian 2)

3.3.3.7 Fungsi Validate

Setelah didapatkan matriks *seed* yang berisi pembagian *cluster*, maka dilakukan tahapan *cluster validity index* yang membandingkan nilai $V(m)$ dan $V(max)$. Nilai dari $V(m)$ didapat dari proses *separation* dan *compactness* yang telah dijelaskan pada subbab 2.9. Pseudocode dari fungsi *validate* ditunjukkan pada Gambar 3.24 dan Gambar 3.25.

Masukan: titik tengah `cluster` (`centclust`), titik tengah sampel (`centro`), bayesian classifier (`pst`), sampel set (`X`)

1. `%separation`
2. Inisialisasi nilai `totsep=0`
3. Lakukan iterasi A sebanyak jumlah `cluster`
4. Menghitung nilai `bet` yaitu nilai `centclust - centro`
5. Hitung nilai perkalian vector `bet`, sehingga menjadi matriks `bet2`
6. Inisialisasi nilai `tsep=0`
7. Lakukan iterasi B sebanyak jumlah piksel sampel set
8. Kalikan nilai `pst` dengan `bet2` dan menghasilkan `tsep=tsep+pst*bet2`
9. Keluar dari iterasi B jika indeks telah memenuhi jumlah piksel

Gambar 3.24 Pseudocode dari fungsi `validate` (Bagian 1)

```

10. Nilai totsep=totsep+tsep
11. Keluar dari iterasi A
12. Lakukan trace pada totsep dan simpan pada variabel seps.
13. %compactness
14.
15. Inisialisasi nilai totcomp=0
16. Lakukan iterasi A sebanyak jumlah cluster
17. Menghitung nilai wit yaitu nilai X - centro
18. Hitung nilai perkalian vector wit, sehingga menjadi
    matriks wit2
19. Inisialisasi nilai tcomp=0
20. Lakukan iterasi B sebanyak jumlah piksel sampel set
21. Kalikan nilai pst dengan wit2 dan menghasilkan
    tcomp=tcomp+pst*wit2
22. Keluar dari iterasi B jika indeks telah memenuhi jumlah
    piksel
23. Hitung nilai comp2 yaitu tcomp dibagi dengan jumlah pst
24. Hitung nilai totcomp yaitu totcomp+trace(comp2)
25. Keluar dari iterasi A jika indeks telah memenuhi jumlah
    piksel
26. Simpan hasil pada variabel comps
27. Hitung nilai V(m)=seps/comps
28. Jika nilai V(m)>Vmax
29. Vmax=Vm
30. Mclust=nilai cluster sekarang
31. Nilai seed yang baru disimpan pada seedOp

Keluaran : seedOp yaitu yang baru, nilai V(m) yang baru

```

Gambar 3.25 Pseudocode dari fungsi *validate* (Bagian 2)

3.3.3.8 Fungsi Colouring

Setelah didapatkan bentuk *cluster* untuk masing-masing objek sel darah merah, maka dilakukan proses pewarnaan anggota *cluster* untuk masing-masing objek sel darah merah, sehingga akan mempermudah visualisasi pemisahan sel darah merah yang bertumpuk secara kasat mata, *Pseudocode* pewarnaan visualisasi ditunjukkan pada Gambar 3.26.

Masukan: matriks seed sel darah merah yang berisi pembagian cluster

1. Inisialisasi citra RGB kosong dengan nilai = 0
2. Lakukan iterasi A sebanyak jumlah objek sel darah merah
3. Melakukan proses perubahan dari citra biner labelling menjadi RGB dengan fungsi MATLAB `label2rgb()` dan menjadi citra objek sel darah merah yang baru dengan warna berbeda untuk tiap *cluster* yang terbentuk, `mask=label2rgb(seed)`
4. Kemudian lakukan penggabungan antara citra RGB kosong dengan citra objek sel darah merah yang telah diwarnai dengan citra RGB awal.
5. Keluar dari iterasi A.

Keluaran: Citra gabungan sel darah merah yang bertumpuk dan yang tidak bertumpuk yang dibedakan dengan warna

Gambar 3.26 Pseudocode dari fungsi *colouring*

Hasil *output* dari fungsi *colouring* akan berupa citra sel darah yang baru dengan pewarnaan pada sel darah merah bertumpuk agar terlihat pemisahan dari sel darah merah bertumpuk. Hasil *output* pada fungsi *colouring* merupakan akhir dari proses identifikasi sel bertumpuk.

BAB IV IMPLEMENTASI

Pada bab ini akan dijelaskan tahap implementasi Identifikasi sel darah merah bertumpuk menggunakan *unsupervised Bayesian classification* pada citra mikroskopik sel darah merah yang meliputi lingkungan implementasi dan potongan kode program dengan menggunakan perangkat MATLAB.

4.1 Lingkungan Implementasi

Pada penelitian ini, tahapan implementasi dan pengujian dilakukan dengan menggunakan perangkat keras dan perangkat lunak yang digunakan untuk proses identifikasi sel darah merah bertumpuk menggunakan *unsupervised Bayesian classification* pada citra mikroskopis sel darah merah. Perangkat keras yang digunakan mempunyai spesifikasi sebagai berikut:

- Laptop ASUS A450L
 - Windows 8.1 64-bit.
 - Prosesor Intel(R) Core(TM) i5-4200U CPU @ 1.60GHz.
 - RAM : 4 GB.

Sedangkan perangkat lunak yang digunakan adalah:

- Windows 8.1 64-bit sebagai sistem operasi.
- MATLAB 8.1 R2013a sebagai aplikasi pendukung.

4.2 Implementasi

Pada bagian ini akan dijelaskan mengenai implementasi kode program yang terdapat dalam perangkat lunak mengenai proses identifikasi sel darah merah bertumpuk menggunakan *unsupervised Bayesian classification* pada citra mikroskopis sel darah merah. dan implementasi setiap proses yang telah dijelaskan pada bab-bab sebelumnya.

4.2.1 Implementasi Tahapan Preprocessing

Pada Tahapan *preprocessing*, dilakukan lima proses yaitu *Green Component*, *Median Filtering*, *Gray Thresholding*, *Edge detection (canny)*, dan *Merging* seperti yang telah dijelaskan pada subbab 3.3.1.

```

1. function inputims(IN);
2. ik=imread(IN);
3. J=ik(:,:,2);
4. J2=medfilt2(J);
5. r1=im2bw(J2,graythresh(J2));
6. nr1=~r1;
7. r=bwareaopen(nr1,100);
8. e=edge(J2,'canny');
9. BW2=bwareaopen(e,5);
10. s=BW2+r;
11. sn=imfill(s,'holes');
12. fil=bwareaopen(sn,100);

```

Gambar 4.1 Kode sumber tahapan *Preprocessing*

Pada Gambar 4.1, implementasi tahapan *Preprocessing* menggunakan pustaka dari MATLAB. Implementasi *Green Component* dapat dilihat pada baris ke-3 yaitu mengambil nilai *green channel*, untuk *median filtering* dilakukan dengan fungsi *medfilt2*. Implementasi *thresholding* dan merubah ke biner dilakukan dengan menggunakan fungsi *im2bw* dan *graythresh*. *Edge detection canny* diimplementasikan menggunakan fungsi *edge(image,'canny')*, pengisian lubang pada citra menggunakan *imfill*, kemudian *Merging* dilakukan dengan cara menambahkan dua citra yang memiliki ukuran matriks yang sama menjadi satu citra.

4.2.2 Implementasi Tahapan Segmentasi Sel Darah Merah

Pada tahapan segmentasi sel darah merah, dilakukan dua proses yaitu proses penghilangan sel darah putih dan platelet dan proses penutupan lubang yang berada di pinggir citra. Hasil dari

dua proses tersebut nantinya akan membentuk citra sel darah merah yang lebih optimal.

Proses penghilangan sel darah putih dan platelet dilakukan untuk membuat citra sel darah merah yang akan diproses seperti yang telah dijelaskan pada subbab 3.3.2 mengenai proses penghilangan citra sel darah putih dan platelet. Kode sumber untuk penghilangan sel darah putih dapat dilihat pada Gambar 4.2.

```

1. rPlane=ik(:,:,3)-0.5*(ik(:,:,1))-0.5*(ik(:,:,2));
2. BW=rPlane > 29;
3. BW2=bwareaopen(BW,100);
4. stats=regionprops(BW2, 'EquivDiameter');
5. allDiam=[stats.EquivDiameter];
6. rata=round(mean(allDiam)/17);
7. if isequalwithequalnans(rata,NaN)==1
8.     rata=1;
9. end
10. se=strel('disk',rata);
11. BW2=imdilate(BW2,se);
12. burnedImage=fil-BW2;
13. fil=imfill(burnedImage,'holes');
14. fil=bwareaopen(fil,100);

```

Gambar 4.2 Kode sumber proses penghilangan sel darah putih dan platelet

Kemudian terdapat proses untuk penutupan lubang pada tepi citra dengan menggunakan pengecekan tepi dan tetangga piksel sehingga mengubah nilai piksel menjadi satu seperti yang telah dijelaskan pada subbab 3.3.1, dengan cara melakukan pengecekan terhadap tepi dari piksel tersebut, apakah piksel mendekati tepi tersebut mempunyai tetangga piksel yang bukan *background*. Kode sumber untuk proses penutupan lubang dapat dilihat pada Gambar 4.3 dan Gambar 4.4.

```

1. s=regionprops(fil,'all');
2. fil2=fil;
3. xx=1;
4. for k = 1 : numel(s)
5.     param=[s.Perimeter];
6.     minParam=round(min(param));
7.     maxParam=round(max(param));
8.     rtParam=round((minParam+maxParam)/2);
9.     siz=size(fil);
10.    cekY=length(find(s(k).PikselList(:,1)==1))>0;
11.    cekX=length(find(s(k).PikselList(:,2)==1))>0;
12.    cekY2=length(find(s(k).PikselList(:,1)==siz(:,2)))>0;
13.    cekX2=length(find(s(k).PikselList(:,2)==siz(:,1)))>0;
14.    if((cekX )|(cekY )|(cekX2
    )|(cekY2))&((s(k).Perimeter>minParam)&(s(k).Perimeter<rt
    Param))
15.        if(cekY)
16.            cek(xx)=k;xx=xx+1;
17.            jb=find(s(k).PikselList(:,1)==1);
18.            ljb=length(jb);
19.            fmin=s(k).PikselList(jb(1),2);
20.            fmax=s(k).PikselList(jb(ljb),2);
21.            for jj=fmin:fmax
22.                fil2(jj,1)=1;
23.            end
24.        end
25.        if(cekX)
26.            cek(xx)=k;xx=xx+1;
27.            jb=find(s(k).PikselList(:,2)==1);
28.            ljb=length(jb);
29.            fmin=s(k).PikselList(jb(1),1);
30.            fmax=s(k).PikselList(jb(ljb),1);
31.            for jj=fmin:fmax
32.                fil2(1,jj)=1;
33.            end
34.        end
35.        if(cekY2)
36.            cek(xx)=k;xx=xx+1;
37.            jb=find(s(k).PikselList(:,1)==siz(:,2));
38.            ljb=length(jb);
39.            fmin=s(k).PikselList(jb(1),2);
40.            fmax=s(k).PikselList(jb(ljb),2

```

Gambar 4.3 Kode sumber proses penutupan lubang pada pinggir citra biner sel darah merah (Bagian 1)

```

41.         for jj=fmin:fmax
42.             fil2(jj,siz(:,2))=1;
43.         end
44.     end
45.     if(cekX2)
46.         cek(xx)=k;xx=xx+1;
47.         jb=find(s(k).PikselList(:,2)==siz(:,1));
48.         ljb=length(jb);
49.         fmin=s(k).PikselList(jb(1),1);
50.         fmax=s(k).PikselList(jb(ljb),1);
51.         for jj=fmin:fmax
52.             fil2(siz(:,1),jj)=1;
53.         end
54.     end
55.     fil2=imfill(fil2,'holes');
56. end
57. end

```

Gambar 4.4 Kode sumber proses penutupan lubang pada pinggir citra biner sel darah merah (Bagian 2)

4.2.3 Implementasi Tahapan Identifikasi Sel Bertumpuk

Beberapa Proses dilakukan pada tahapan identifikasi sel bertumpuk, mulai dari proses *distance transform* hingga proses *cluster validation*.

```

1. s=fil2;
2. jumT=numel(regionprops(bwlabel(s),'all'));
3. N=bwlabel(s);
4. W=bwdist(~N);
5. W2=bwlabel(W);
6. ovlpdist=regionprops(W2,'all');
7. for n=1:numel(ovlpdist)
8.     centinit{n}=[];
9.     a(:,n) = [ovlpdist(n).Centroid];
10.    c = a(1,n);
11.    r = a(2,n);
12.

```

Gambar 4.5 Kode sumber proses pembuatan masing-masing objek sel darah merah (Bagian 1)

```

13.     BWs{n}=bwselect(N,c,r);
14.     subIm=-BWs{n};
15.     subImage{n}=bwdist(~subIm);
16.
17.     cropimage(:,:,1)=BWs{n}*255;
18.     cropimage(:,:,2)=BWs{n}*255;
19.     cropimage(:,:,3)=BWs{n}*255;
20.
21.     sImage{n}=uint8(cat(3, cropimage(:,:,1),
    cropimage(:,:,2), cropimage(:,:,3)));
22.
23.
24.     subz{n}=imregionalmax(subImage{n});
25.
26.
27.     subImage1{n}=bwdist(~subIm);
28.     subz1{n}=imregionalmax(round(subImage1{n}));
29.     subz1lb{n}=bwlabel(subz1{n});
30.     ovlpdistg=regionprops(subz1lb{n}, 'all');
31.     ovlpd{n}=ovlpdistg;
32.     mn=[];
33.     for o=1:numel(ovlpd{n})
34.         nm=ovlpdistg(o).Centroid;
35.         mn(o,1)=mean(nm(:,1));
36.         mn(o,2)=mean(nm(:,2));
37.     end
38.     mnm=[mean(mn(:,1)) mean(mn(:,2))];
39.     centinit{n}=mn;
40.     centroids2{n} = mnm';
41. end

```

Gambar 4.6 Kode sumber proses pembuatan masing-masing objek sel darah merah (Bagian 2)

Pada Gambar 4.5 dan Gambar 4.6 ditampilkan kode sumber dilakukannya proses *distance transform* menggunakan fungsi *bwdist*, *regional maxima* menggunakan fungsi *imregionalmax*, pelabelan menggunakan fungsi *bwlabel*, permotongan objek menjadi sampel citra baru menggunakan *bwselect* dan penentuan titik tengah suatu sampel objek menggunakan *regionprops centroid* yang akan digunakan untuk penghitungan *separation* dan *compactness* pada proses *cluster validation*.

```

1. for i=1:jumT
2.     [y x]=find(subImage{i}>0);
3.     pospixl{i}=[x y];
4.     pospixl{i}=transpose(pospixl{i});
5.     pospixlt{i}=transpose(pospixl{i});
6.     posa = [x y];
7.     na=numel(posa)/2;
8.     [y1 x1]=find(subz{i}>0);
9.     posb = centinit{i};
10.    nb=numel(posb)/2;
11.    mclustest=nb;
12.    mclust{i}=nb;
13.    mclustawal{i}=nb;
14.    Vmax{i}=-Inf;
15.    oq{i}=0;
16.    turn=1;
17.    seedOp{i}=[];
18.    mask{i}=[];
19.    depth=0;
20.    cdhmax{i}=-inf;
21.    mh=centinit{i};
22.
23.        cluster_validation()
24.        colouring()
25. end

```

Gambar 4.7 Kode sumber proses setiap objek sel darah merah

Pada Gambar 4.7 dilakukan iterasi untuk memproses semua objek sel darah merah yang ditemukan setelah diproses pada pelabelan sebelumnya, kemudian setiap sampel objek sel tersebut dilakukan proses *cluster validation* dengan fungsi *cluster_validation*, proses yang dilakukan setelah *cluster validation* adalah membuat citra pembentukan sel darah merah bertumpuk dengan memberi warna untuk setiap *cluster* yang terbentuk dengan menggunakan fungsi *label2rgb*.

Pembahasan selanjutnya akan membahas lebih detail tentang proses yang dilakukan pada fungsi *cluster_validation* yang sesuai dengan perancangan fungsi yang dijelaskan pada subbab 3.3.3.

4.2.3.1 Implementasi Fungsi H-Maxima

Proses dengan *H-maxima* digunakan sebagai penentuan batas *cluster* yang digunakan sebagai inisialisasi pada algoritma EM, penggunaan *H-maxima* menekan jumlah *regional maxima* yang tidak pasti atau semu. Sehingga dapat mempercepat proses karena dilakukan pengabaian jumlah *cluster* yang akan dihitung. Pada Gambar 4.8 ditampilkan kode sumber proses *H-maxima*.

```

1. while cdhmax{i} < mclustest
2.     depth=depth+0.05;
3.     subImagehm=imhmax(round(subImage1{i}),depth)
4.     subzhm=imregionalmax(subImagehm);
5.     subzhmlbl=bwlabel(subzhm);
6.     ovlpdisthm=regionprops(subzhmlbl,'all');
7.     mh=[];
8.     for o=1:numel(ovlpdisthm)
9.         hm=ovlpdisthm(o).Centroid;
10.        mh(o,1)=mean(hm(:,1));
11.        mh(o,2)=mean(hm(:,2));
12.    end
13.    cdhmax{i}=numel(ovlpdisthm);
14. end
15. centinithm{i}=mh;
16. posb=centinithm{i};
17. if cdhmax{i} == mclustest
18.     %proses selanjutnya

```

Gambar 4.8 Kode sumber fungsi H_maxima

Dilakukan perulangan dengan kondisi pada baris pertama untuk menekan jumlah inisialisasi *cluster* yang akan dipakai pada proses pembuatan *cluster*. Implementasi H-maxima menggunakan fungsi *imhmax*, kemudian dilakukan penyimpanan citra biner yang baru dan dilakukan proses pencarian anggota kelompok *cluster* seperti yang dijelaskan pada subbab 3.3.3.

4.2.3.2 Implementasi Fungsi Nearest Neighbour

Proses *nearest neighbour* dilakukan untuk membentuk inisialisasi *cluster* dengan membandingkan jarak terdekat suatu sampel piksel terhadap titik piksel yang menjadi acuan, seperti yang telah dijelaskan pada subbab 2.7. Pada Gambar 4.9 ditampilkan kode sumber fungsi *nearest_neighbour*.

```

1. function [A seed] =
   nearest_neighbour (na, nb, posa, posb, seed, subImage)
2. for j=1:na
3.     minseed=Inf;
4.     clusseed=0;
5.     ba=0;
6.     for l=1:nb
7.         p = power((posa(j,1)-posb(l,1)),2);
8.         q = power((posa(j,2)-posb(l,2)),2);
9.         ba = sqrt(p + q);
10.        if minseed>ba
11.            minseed=ba;
12.            clusseed=l;
13.        end
14.        seed(posa(j,2),posa(j,1)) = clusseed;
15.    end
16.    xi=posa(j,1);
17.    yi=posa(j,2);
18.    pix2=subImage(yi,xi);
19.    A(j)=pix2;
20. end

```

Gambar 4.9 Kode sumber fungsi *nearest_neighbour*

Implementasi dari fungsi *nearest_neighbour* berdasarkan dari fungsi yang telah dijelaskan pada subbab 3.3.3.2, dilakukan iterasi sebanyak jumlah piksel objek yang sedang diproses, kemudian dilakukan iterasi sebanyak jumlah *cluster* yang akan diproses.

Dilakukan proses penghitungan jarak terdekat menggunakan *euclidean distance* yang diimplementasikan pada baris ke – 7 hingga baris ke – 9, jika nilai jarak tersebut mencapai nilai minimal, maka nilai dari variabel *clusseed* adalah nilai indeks

ke - 1 saat ditemukannya jarak terdekat, kemudian hasil dari *clusseed* disimpan pada matriks *seed* yang baru.

4.2.3.3 Implementasi Fungsi Clust Assign

Proses *clust assign* merupakan proses dilakukannya inisialisasi pencarian parameter yang tidak diketahui (unknown parameter) yaitu : rata-rata (μ), *prior probability* (τ), dan matriks kovarian (Σ) yang dapat diperoleh dari sampel set yang telah terbentuk *cluster* nya seperti yang telah dijelaskan pada subbab 2. Pada Gambar 4.10 dan 4.11 ditampilkan kode sumber fungsi *clust_assign*.

```

1. function [cell] =
   clust_assign(na,nb,posa,posb,seed,subImage,A)
2. clust= [];
3. cluste= [];
4. centclus= [];
5.
6. for l=1:nb
7.     post=[];
8.     [y x]=find(seed==l);
9.     pi=[x y];
10.    p=numel(pi)/2;
11.    pi=transpose(pi);
12.    prob=p/na;
13.
14.    cell.cells(l)=l;
15.    cell.probs(l)=prob;
16.    Bs{l}=cov(pi(1,:),pi(2,:));
17.
18.    clust{l}=struct('cell',l,'pos',[x y],'probs',prob);
19.    cluste{l}=struct('pos',[x y]);
20.
21.    po=[mean(x) mean(y)];
22.    centcluspos(1,l) = po(1);
23.    centcluspos(2,l) = po(2);
24. end

```

Gambar 4.10 Kode sumber fungsi *clust_assign* (Bagian 1)

```

25. cell.centpos=centcluspos;
26. cell.pos=cluste;
27. cell.cluster=seed;
28. cell.cova=Bs;
29. cell.probs=transpose(cell.probs);
30.
31. end

```

Gambar 4.11 Kode sumber fungsi *clust_assign* (Bagian 2)

Dilakukan proses pencarian parameter rata-rata (μ), *prior probability* (τ), dan matriks kovarian (Σ) untuk setiap jumlah *cluster* yang ada karena masing – masing parameter berkesinambungan dengan jumlah *cluster* yang merupakan variabel laten seperti yang dijelaskan pada subbab 2.8. Kemudian hasil parameter tersebut masing – masing disimpan pada variabel *cell.centpos*, *cell.probs*, dan *cell.cova*.

4.2.3.4 Implementasi Fungsi Likelihood

Proses *likelihood* merupakan proses dilakukannya pencarian *likelihood* dengan parameter rata-rata (μ), *prior probability* (τ), dan matriks kovarian (Σ) dan digunakan penghitungan hasil perkalian *class conditional probability* dan *prior probability* dan dihitung sesuai jumlah sampel (\mathbf{X}) seperti yang telah dijelaskan pada subbab 2.8 Pada Gambar 4.12 ditampilkan kode sumber fungsi *likelihood*.

```

1. function L = likelihood(X,k,W,M,V)
2. [n,e] = size(X);
3. tot=0;
4. for i=1:e
5.     for j=1:k
6.         d1=X(:,i)-M(:,j);

```

Gambar 4.12 Kode sumber fungsi *likelihood* (Bagian 1)

```

7.         if det(V{j}) ~= 0
8.             pn=log(W(j)) - 0.5*log(det(V{j}))-
9.             0.5*(d1')*inv(V{j})*(d1)-log(2*pi);
10.        else
11.            pn=0;
12.        end
13.        tot=tot+pn;
14.    end
15. end
16. L=tot;

```

Gambar 4.13 Kode sumber fungsi *likelihood* (Bagian 2)

Pada iterasi kedua terdapat fungsi pengambilan keputusan jika determinan tidak sama dengan nol maka dilakukan penghitungan, hal ini dilakukan untuk mencegah terbentuknya matriks singular, karena matriks singular tidak memiliki nilai invers, dan hasil penghitungan nanti nilai dari *likelihood* akan menjadi tidak terdefinisi.

4.2.3.5 Implementasi Fungsi Expectation-Maximization

Proses *expectation-maximization* merupakan proses dilakukannya pencarian *likelihood* dengan parameter rata-rata ($\mu^{(t)}$), *prior probability* ($\tau^{(t)}$), dan matriks kovarian ($\Sigma^{(t)}$) kemudian dilakukan penghitungan ulang dan didapatkan parameter rata-rata ($\mu^{(t+1)}$), *prior probability* ($\tau^{(t+1)}$), dan matriks kovarian ($\Sigma^{(t+1)}$) yang baru, sehingga nilai *likelihood* berubah dan dapat dibandingkan dengan *likelihood* sebelumnya.

Proses *expectation-maximization* memakan banyak waktu dan membutuhkan banyak iterasi, dikarenakan pencarian nilai *likelihood* yang optimal, maka dari itu ditambahkan batas banyak iterasi yang dilakukan, agar mempercepat proses. Pada Gambar 4.14 ditampilkan kode sumber fungsi *expectation_maximization*.

```

1. Ln=likelihood(pospixl{i},mclustest,po,mu,v);
2.
3. Lo=Ln-1;
4. niter=0;
5. maxiter=1000;
6. pon=po;
7. mn=mu;
8. vn=v;
9.
10. while (Lo<Ln) & (niter<=maxiter)
11.
12.     E=expectation(mn,vn,pon,pospixl{i},mclustest);
13.     [pon,mn,vn]=maximization(pospixl{i},mclustest,E);
14.
15.     Lo=Ln;
16.
17.     Ln=likelihood(pospixl{i},mclustest,pon,mn,vn);
18.
19.     niter=niter+1;
20.     op{i}=niter;
21. end
22.

```

Gambar 4.14 Kode sumber fungsi *expectation_maximization*

Pada proses *expectation* parameter yang dihitung adalah rata-rata (μ), *prior probability* (τ), matriks kovarian (Σ), sampel set (\mathbf{X}), dan jumlah *cluster* (m). Hasil dari proses *expectation* berupa sebuah matriks probabilitas seperti yang telah dijelaskan pada subbab 2.8 Pada Gambar 4.15 ditampilkan kode sumber proses *expectation*.

```

1. function E = expectation(m,v,g,x,nb)
2.
3. E = zeros(numel(x)/2,nb);
4. for i=1:numel(x)/2
5.     tot=0;
6.     for j=1:nb
7.         h=0;
8.         amp=0;
9.         d = x(:,i)-m(:,j)
10.        if det(v{j}) ~=
11.            h=d'*inv(v{j})*d;
12.            amp=g(j)/sqrt(2*pi*det(v{j}));
13.            E(i,j)=amp*exp(-0.5*h);
14.        else
15.            E(i,j)=0;
16.        end
17.        tot=tot+E(i,j);
18.    end
19.    E(i,:) = E(i,+)/tot;
20. end

```

Gambar 4.15 Kode sumber fungsi expectation

Hasil dari proses *expectation* adalah matriks E yang berukuran jumlah piksel pada objek (n) dan jumlah *cluster* (m). matriks E merupakan *posterior probability* yang merupakan *Bayesian classifier* untuk penentuan *cluster*.

Pada proses *maximization* parameter yang dihitung adalah hasil dari *expectation* yang berupa matriks (E), sampel set (\mathbf{X}), dan jumlah *cluster* (m). Hasil dari proses *maximization* berupa parameter rata-rata ($\mu^{(t+1)}$), *prior probability* ($\tau^{(t+1)}$), dan matriks kovarian ($\Sigma^{(t+1)}$) yang baru, seperti yang telah dijelaskan pada subbab 2. Pada Gambar 4.16 ditampilkan kode sumber fungsi *maximization*.

Hasil dari proses *maximization* adalah parameter rata-rata ($\mu^{(t+1)}$), *prior probability* ($\tau^{(t+1)}$), dan matriks kovarian ($\Sigma^{(t+1)}$) yang baru, yang kemudian akan dihitung kembali pada proses *expectation* jika hasil *likelihood* yang baru tidak memenuhi kondisi seperti pada Gambar 4.10.

```

1. function [W,M,V] = maximization(X,k,E)
2. [n,d]=size(E);
3. p1=sum(E(:,1));
4. p2=sum(E(1,:));
5.
6. allp=sum(sum(E))
7. Mu=zeros(2,d);
8. for j=1:d
9.     p(j)=sum(E(:,j))/allp;
10.    for i=1:n
11.        kl=E(i,j)*X(:,i);
12.        Mu(1,j)=Mu(1,j)+kl(1);
13.        Mu(2,j)=Mu(2,j)+kl(2);
14.    end
15.    Mu(1,j)=Mu(1,j)/sum(E(:,j));
16.    Mu(2,j)=Mu(2,j)/sum(E(:,j));
17.    Va=zeros(2,2);
18.    for i=1:n
19.        d=X(:,i)-Mu(:,j);
20.        Va=Va+E(i,j)*d*d';
21.    end
22.    Va=Va/sum(E(:,j));
23.    Vu{j}=Va;
24. end
25. W=p';
26. M=Mu;
27. V=Vu;

```

Gambar 4.16 Kode sumber fungsi *maximization*

4.2.3.6 Implementasi Fungsi Clust EM

Pada proses *clust EM*, dilakukan proses *clustering* menggunakan *bayes classifier*, yang merupakan probabilitas posterior ($T_{j,i}$) pada proses *expectation* seperti yang telah dijelaskan pada subbab 2.8. Suatu piksel (X_i) dikelompokkan pada *cluster j* jika piksel tersebut memiliki nilai probabilitas posterior ($T_{j,i}$) yang paling maksimal dibandingkan *cluster* lainnya. Output dari *clust EM* adalah sel darah merah yang telah di kelompokkan dan center dari setiap *cluster* yang ditemukan. Pada Gambar 4.17 ditampilkan kode sumber fungsi *clust_EM*.

```

1. function [seed,prob,postc] = clustEM(posita,E,seed)
2. [n,d]=size(E);
3. for i=1:n
4.     max=0;
5.     maxclust=0;
6.     for j=1:d
7.         if E(i,j)>max
8.             max=E(i,j);
9.             maxclust=j;
10.        end
11.    end
12.    seed(posita(i,2),posita(i,1)) = maxclust;
13. end
14.
15. for l=1:d
16.     [y x]=find(seed==l);
17.     pi=[x y];
18.     p=numel(pi)/2;
19.     prob(l)=p/n;
20.     postc(l,1)=mean(x);
21.     postc(l,2)=mean(y);
22. end

```

Gambar 4.17 Kode sumber fungsi *clust_EM*

Hasil dari proses *clust EM* adalah matriks *seed* yang telah dikelompokkan berdasarkan *cluster* menggunakan probabilitas posterior, kemudian dilakukan penghitungan probabilitas prior dan titik tengah masing-masing *cluster*.

4.2.3.7 Implementasi Fungsi Validate

Pada proses *validate*, dilakukan proses mencari nilai *cluster validity index*, yang didapat dari hasil *separation* dibagi dengan *compactness* seperti yang dijelaskan pada subbab 2.9. Nilai *cluster validity index* nanti akan menjadi penentu apakah nilai suatu *cluster* lebih baik dibandingkan *cluster* lainnya. Hasil dari *cluster validity* adalah nilai *maximum cluster* dan *cluster* yang terbentuk. Pada Gambar 4.18 ditampilkan kode sumber fungsi *validate*.

```

1. %%Validate
2.
3.
4. %Separation
5. totsep=0;
6.         for j=1:mclustest
7.             bet=cell{i}.centclust(j)-cell{i}.centro;
8.             bet2=bet*bet';
9.             tsep=0;
10.            for k=1:na
11.                tsep=tsep+cell{i}.pst(k,j)*bet2;
12.            End
13.            totsep=totsep+tsep;
14.        End
15.        seps{i}=trace(totsep);
16.
17. %Compactness
18.        totcomp=0;
19.        for j=1:mclustest
20.            wit=cell{i}.postpixl(:,j)-cell{i}.centro;
21.            wit2=wit*wit';
22.            tcomp=0;
23.            for k=1:na
24.                tcomp=tcomp+cell{i}.pst(k,j)*wit2;
25.            end;
26.            comp2=tcomp/sum(cell{i}.pst(:,j));
27.            totcomp=totcomp+trace(comp2);
28.        end;
29.        comps{i}=totcomp;
30.
31. Vm{i}(turn)=seps{i}/comps{i};
32.         if(Vm{i}(turn)>=Vmax{i})
33.             oq{i}=oq{i}+1;
34.             Vmax{i}=Vm{i}(turn);
35.             mclust{i}=mclustest;
36.             seedop{i}=seed{i};
37.             cell{i}.probsOp=cell{i}.probclust;
38.             cell{i}.centclustOp=cell{i}.centclust;
39.         end

```

Gambar 4.18 Kode sumber proses *validate*

Nilai dari *cluster validity index* akan menentukan jumlah *cluster* dan bentuk *cluster* yang optimal seperti yang dijelaskan pada subbab 2.9, dan hasil dari bentuk *cluster* yang optimal disimpan pada matriks *seedop* yang kemudian akan diproses

menjadi citra visualisasi pemisahan sel darah merah yang bertumpuk pada matriks *seedop* tersebut dan dilakukan penggabungan citra.

4.2.3.8 Implementasi Fungsi Colouring

Pada proses *colouring*, dilakukan proses pewarnaan anggota *cluster* untuk masing-masing objek sel darah merah, sehingga menghasilkan citra visualisasi pemisahan sel darah merah yang bertumpuk dan didapatkan citra gabungan dengan cara menggabungkan citra sel darah awal dengan hasil visualisasi pemisahan sel darah merah yang bertumpuk. Pada Gambar 4.19 ditampilkan kode sumber proses *colouring*.

```

1.         if mclust{i}>1
2.             mask{i}=label2rgb(seedOp{i}, 'jet', 'k')
3.
4.             clustimage = clustimage + mask{i};
5.             clustimage2 = clustimage2 + mask{i};
6.
7.             else
8.                 mask{i}=sImage{i};
9.                 clustimage = clustimage + mask{i};
10.        end

```

Gambar 4.19 Kode sumber fungsi colouring

Matriks *sImage* adalah citra RGB hasil konversi citra biner sel darah merah yang telah didapatkan pada tahapan segmentasi citra pada Gambar 4.6

Terdapat dua hasil dari proses *colouring*, yaitu citra visualisasi pemisahan sel darah merah bertumpuk yang bernama *clustimage* dan citra gabungan yang bernama *clustimage2*, untuk citra visualisasi pemisahan sel darah merah bertumpuk, sel darah merah yang dianggap tidak bertumpuk memiliki warna putih dan sel darah merah yang dianggap bertumpuk memiliki berbagai ragam warna bergantung dari jumlah *cluster* yang dideteksi.

BAB V

HASIL UJI COBA DAN EVALUASI

Pada bab ini akan dijelaskan uji coba dan evaluasi yang dilakukan pada identifikasi sel darah merah bertumpuk menggunakan *unsupervised Bayesian classification*. Pembahasan yang dilakukan meliputi lingkungan pengujian, data uji coba, skenario uji coba, dan hasil uji coba.

5.1 Lingkungan Pengujian

Proses uji coba dan evaluasi Tugas Akhir ini digunakan perangkat keras berupa laptop dengan spesifikasi sebagai berikut:

- Laptop ASUS A450L
 - Windows 8.1 64-bit.
 - Prosesor Intel(R) Core(TM) i5-4200U CPU @ 1.60GHz.
 - RAM : 4 GB.

Sedangkan perangkat lunak yang digunakan adalah:

- Windows 8.1 64-bit sebagai sistem operasi.
- MATLAB 8.1 R2013a sebagai aplikasi pendukung.

5.2 Data Uji Coba

Data masukan yang digunakan dalam uji coba ini adalah dataset penelitian pembimbing Tugas Akhir, seperti yang sudah dijelaskan pada subbab 3.2. Dataset tersebut terdiri dari 10 citra mikroskopik sel darah.

Data keluaran hasil uji coba adalah citra visualisasi pemisahan sel darah merah yang bertumpuk untuk tiap sel darah merah.

5.3 Skenario Uji Coba

Pada subbab ini akan dijelaskan mengenai skenario uji coba yang dilakukan untuk mengetahui kinerja identifikasi sel darah merah bertumpuk menggunakan *unsupervised Bayesian*

classification. Skenario uji coba akan dibagi menjadi 2 skenario dengan rincian sebagai berikut:

1. Skenario Uji coba perbandingan dengan segmentasi citra manual, segmentasi pada tahap ini adalah melakukan pemisahan sel darah merah dengan *background* yang tidak diperlukan seperti sel darah merah dan platelet. Citra hasil segmentasi manual (*ground truth*) akan dianggap sebagai hasil segmentasi yang benar. Sehingga akurasi segmentasi dari metode yang diusulkan dapat dibandingkan.
2. Skenario uji coba akurasi segmentasi sel darah merah bertumpuk melalui penghitungan jumlah *cluster* dengan pengecekan *oversegmentation*, *undersegmentation* serta *correctly segmented* berdasarkan jumlah *cluster* yang telah dihitung secara manual.

5.3.1 Skenario Uji Coba 1

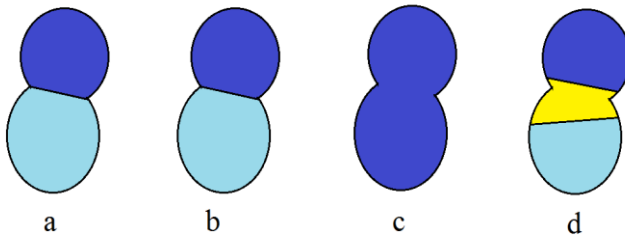
Pada skenario uji coba 1, akurasi hasil segmentasi dihitung dengan membandingkan metode yang digunakan dengan segmentasi manual. Segmentasi manual dilakukan dengan menandai / mewarnai area sel darah merah pada citra. Metriks untuk mengevaluasi akurasi segmentasi menggunakan Akurasi, *False Positive (FP) rate*, dan *False Negative (FN) rate*. Akurasi dihitung sebagai rasio jumlah piksel yang diidentifikasi dengan benar (*True Positive (TP)*) dan jumlah piksel *background (True Negative (TN))* terhadap jumlah piksel *ground truth*.

Nilai FP rate dihitung sebagai rasio jumlah piksel yang teridentifikasi sebagai objek oleh metode yang digunakan namun teridentifikasi sebagai *background* oleh citra *ground truth*.

Nilai FN rate dihitung sebagai rasio jumlah piksel yang teridentifikasi sebagai *background* oleh metode yang digunakan namun teridentifikasi sebagai objek oleh citra *ground truth*.

5.3.2 Skenario Uji Coba 2

Pada skenario uji coba 2, yaitu menghitung akurasi jumlah sel darah merah bertumpuk metode *correctly segmented*, *overgmentation* dan *undersegmentation* yang akan membandingkan hasil proses identifikasi sel darah merah bertumpuk dengan hasil penghitungan secara manual. Nilai *oversegmentation* dihitung berdasarkan jumlah *cluster* yang berlebih sedangkan *undersegmentation* dihitung berdasarkan jumlah *cluster* yang kurang dari seharusnya seperti yang ditunjukkan pada Gambar 5.1.



Gambar 5.1 (a) Contoh objek sel mengandung *cluster* (b) *correctly segmented* (c) *undersegmentation* (d) *oversegmentation*

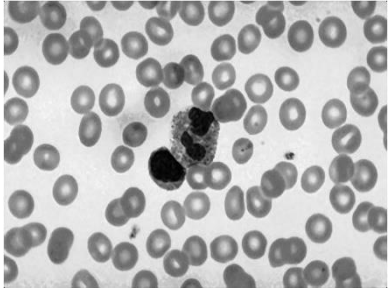
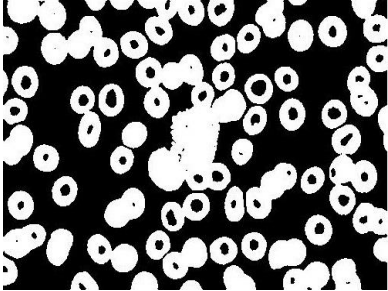
5.4 Hasil Uji Coba

Pada subbab ini akan dijelaskan mengenai hasil uji coba program berdasarkan skenario uji coba yang telah dirancang pada subbab 5.3. Hasil skenario uji coba akan dijelaskan pada subbab 5.4.1 untuk skenario 1 dan subbab 5.4.2 untuk skenario 2.

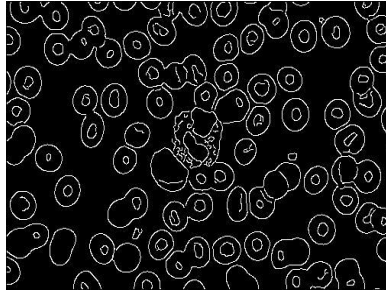
Hasil akhir uji coba dari pemrosesan identifikasi sel darah merah bertumpuk untuk setiap citra dapat dilihat pada Lampiran Uji Coba.

Hasil setiap proses identifikasi sel darah merah bertumpuk dari awal hingga akhir pada sampel citra 'heme004' ditunjukkan pada Tabel 2.

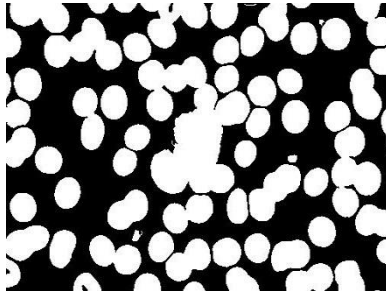
Tabel 2 Hasil pemrosesan data heme004

No.	Nama proses	Hasil
1	Input citra	
2	Median Filtering	
3	GrayThresholding	

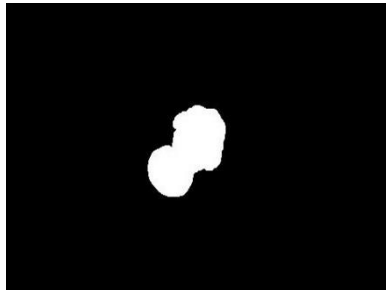
4 Deteksi tepi canny



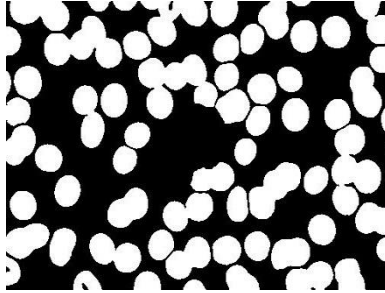
5 Citra biner sel darah



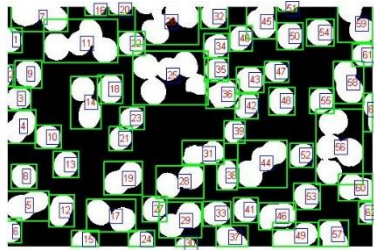
6 Citra biner sel darah putih



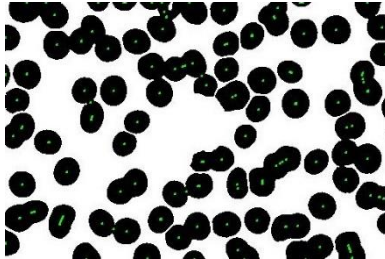
- 7 Citra biner sel darah merah



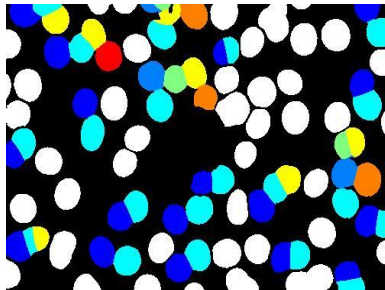
- 8 Penghitungan jumlah objek



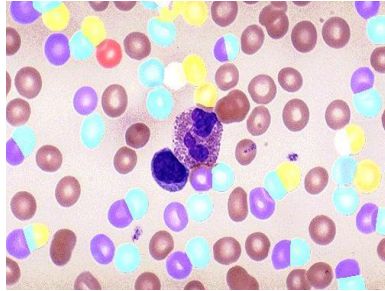
- 9 Penghitungan jumlah titik *cluster* awal



- 10 Visualisasi pemisahan sel darah merah yang bertumpuk



11 Citra gabungan



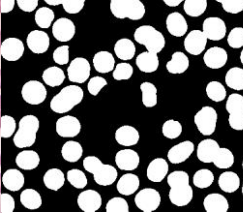
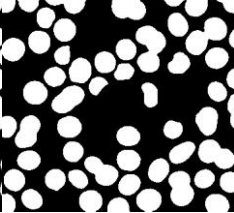
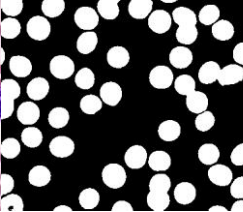
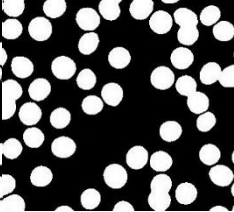
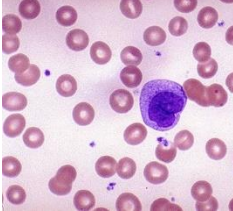
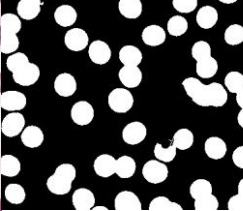
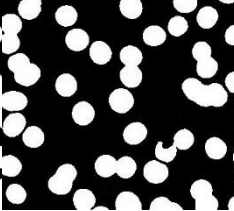
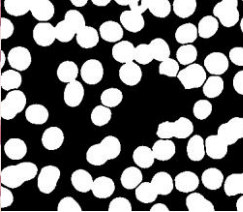
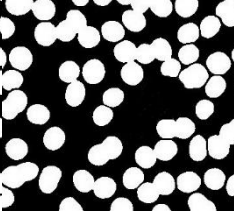
5.4.1 Hasil Uji Coba 1

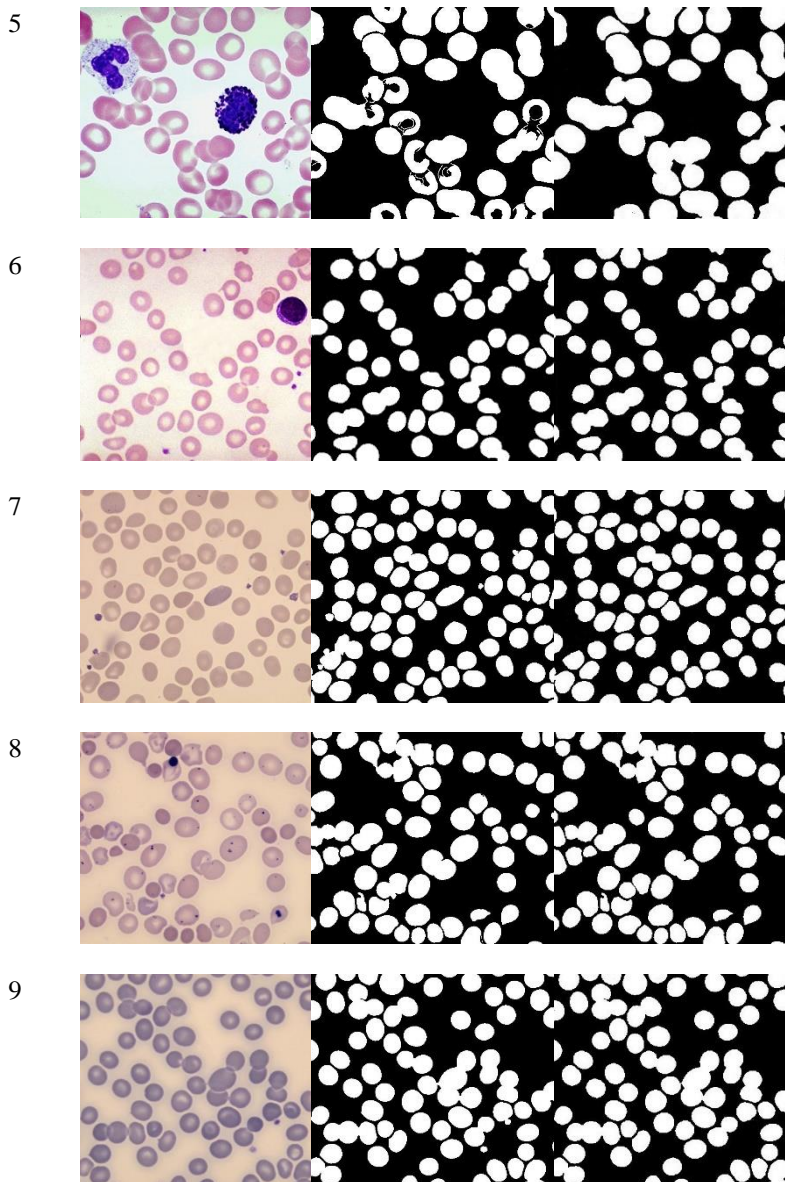
Pada uji coba 1, dataset citra yang digunakan berjumlah 20 yaitu hasil segmentasi citra mikroskopik sel darah merah yang berjumlah 10 dan *ground truth* citra mikroskopik sel darah merah yang berjumlah 10. Hasil dari uji coba ini adalah Akurasi, *False Positive* (FP) rate, dan *False Negative* (FN) rate. Pada Tabel 3 ditunjukkan perbandingan dari citra RGB sel darah, hasil segmentasi sel darah merah dan *ground truth*. Hasil uji coba 1 yang berupa penghitungan akurasi, FP rate dan FN rate ditunjukkan pada Tabel 4.

Tabel 3 Hasil akurasi uji coba 1

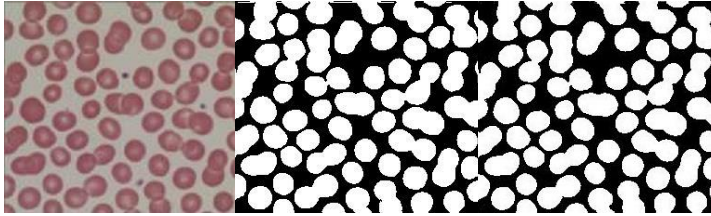
Citra	Akurasi (%)	FP rate (%)	FN rate (%)
heme001	98,28	1,27	0,45
heme002	96,82	1,81	1,37
heme003	97,55	1,48	0,97
heme004	97,63	1,55	0,82
heme005	93,83	1,96	4,21
heme084	97,32	1,73	0,95
mega2	97,24	2,16	0,60
mega3	97,70	1,42	0,88
mega4	97,64	1,52	0,84
rbc2	93,48	4,16	2,36
Rata – rata	96,75	1,34	1,91

Tabel 4 Perbandingan citra

No.	Citra Asli	Hasil Segmentasi	Ground Truth
1			
2			
3			
4			



10



Berdasarkan penghitungan yang telah dilakukan terhadap 10 citra uji, didapatkan rata-rata akurasi metode yang digunakan mencapai 96,75% dengan rata-rata error FP dan FN masing-masing sebesar 1,34% dan 1,91%.

5.4.2 Hasil Uji Coba 2

Pada uji coba 2, dataset citra yang digunakan berjumlah 10 yaitu citra mikroskopik sel darah Hasil dari uji coba ini adalah penghitungan jumlah sel darah merah tunggal dan bertumpuk yang dapat dilihat pada Tabel 5 dan akurasi penghitungan pada Tabel 6.

Tabel 5 Jumlah segmentasi sel darah merah

Citra	Jumlah sel darah merah	Jumlah sel darah merah hasil metode		
		Correctly segmented	Undersegmented	Oversegmented
heme001	75	69	3	3
heme002	66	60	1	5
heme003	52	45	3	4
heme004	63	53	6	4
heme005	42	31	3	8
heme084	76	69	0	7
mega2	95	86	0	9
mega3	68	62	1	5
mega4	76	70	0	6
rbc2	57	50	5	2

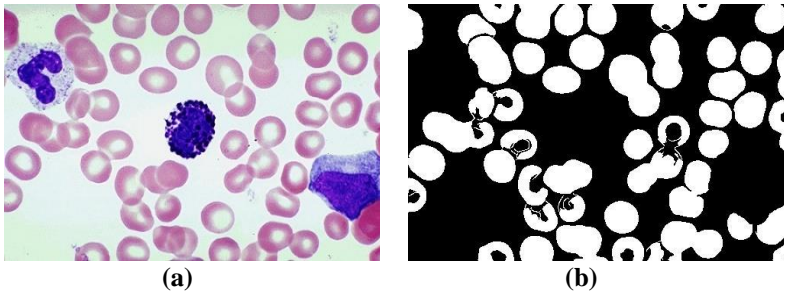
Tabel 6 Hasil akurasi uji coba 2

Citra	<i>Persentase (%)</i>		
	<i>Correctly segmented</i>	<i>Undersegmented</i>	<i>Oversegmented</i>
heme001	92	4	4
heme002	90,9	1,5	7,5
heme003	86,5	5,7	7,6
heme004	84,1	9,5	6,3
heme005	73,8	7,1	19
heme084	90,7	0	9
mega2	90,5	0	9
mega3	91,1	1,4	7
mega4	92,1	0	7
rbc2	87,7	8,7	3
Rata - rata	87,94	3,82	8,24

Berdasarkan penghitungan yang telah dilakukan terhadap 10 citra uji, didapatkan rata-rata akurasi (*correctly segmented*) sel darah merah bertumpuk mencapai 87,94% dengan rata-rata error *undersegmented* dan *oversegmented* masing-masing sebesar 3,82% dan 8,24%.

5.4.3 Analisis Hasil Uji Coba

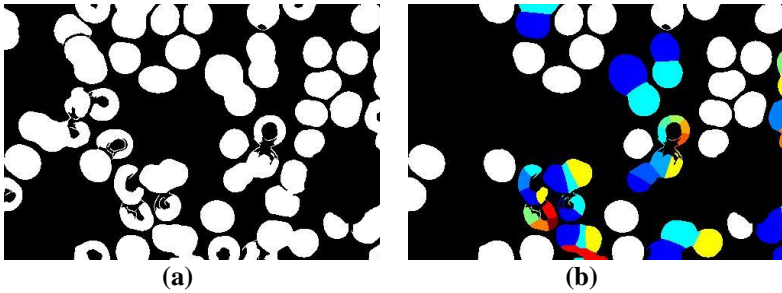
Pada uji coba 1, akurasi pada citra ‘heme005’ memiliki akurasi error sebesar 4,21%, hal ini dikarenakan warna *concave* sel darah merah pada citra ‘heme005’ memiliki warna yang hampir sama dengan *background*, sehingga hal tersebut mempengaruhi hasil segmentasi, seperti yang ditunjukkan pada Gambar 5.2.



Gambar 5.2 (a) citra asli heme005 (b) citra segmentasi heme005

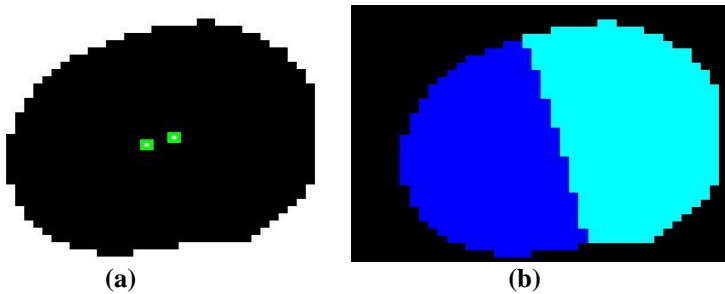
Pada uji coba 2, akurasi pada data citra ‘heme005’ juga terbilang kecil yaitu sebesar 73,8%, hal ini disebabkan oleh dua hal yaitu :

1. Hasil citra dari proses segmentasi yang kurang baik menyebabkan berkurangnya ketepatan dalam menentukan titik tengah *cluster* yang bertumpuk pada sel darah merah, seperti yang ditunjukkan pada Gambar 5.3.



Gambar 5.3 (a) citra segmentasi heme005 (b) citra visualisasi pemisahan sel darah merah bertumpuk heme005

2. Hasil dari pembatasan *cluster* pada metode *H-maxima* berpengaruh dalam penentuan batas *cluster* yang akan diproses, jika nilai variabel *depth* terlalu besar, maka akan mempengaruhi hasil dari pemisahan sel bertumpuk yang seringkali menyebabkan *oversegmented*, seperti yang ditunjukkan pada Gambar 5.4.



Gambar 5.4 (a) citra penentuan titik tengah *cluster* dengan H-maxima (b) citra visualisasi pemisahan sel darah merah bertumpuk

BAB VI KESIMPULAN DAN SARAN

Pada bab ini berisi kesimpulan mengenai pengujian dan evaluasi yang telah dilakukan. Selain itu, terdapat beberapa saran guna penyempurnaan ke depan.

6.1 Kesimpulan

Kesimpulan yang diperoleh berdasarkan pengujian dan evaluasi yang telah dilakukan adalah sebagai berikut:

1. Hasil uji coba 1 dari metode segmentasi yang digunakan dibandingkan dengan citra *ground truth* menghasilkan rata-rata akurasi mencapai 96,75% dengan rata-rata error FP dan FN masing-masing sebesar 1,34% dan 1,91%.
2. Metode *unsupervised Bayesian classification* dapat digunakan untuk mengidentifikasi sel darah merah yang bertumpuk karena pada uji coba 2 didapatkan rata-rata akurasi (*correctly segmented*) sel darah merah yang bertumpuk mencapai 87,94% dengan rata-rata error *undersegmented* dan *oversegmented* masing-masing sebesar 3,82% dan 8,24%.
3. Metode *masking* sel darah putih pada tahapan segmentasi dapat mempengaruhi akurasi dalam proses identifikasi sel darah merah bertumpuk.
4. Penggunaan metode *H-maxima* sebagai pembatasan nilai *cluster* sangat bergantung pada nilai variabel *depth*, jika nilai *depth* yang diberikan terlalu besar maka akan mempengaruhi bentuk pemisahan sel darah merah bertumpuk.

6.2 Saran

Saran yang hendak disampaikan terkait dengan Tugas Akhir ini, yang adalah diperlukannya peninjauan ulang kembali metode *H-maxima* dalam menentukan nilai batasan *cluster* yang akan dilakukan proses *validasi cluster*, dan juga dibutuhkan proses segmentasi yang lebih baik lagi jika citra mikroskopik sel darah merah memiliki warna *concave* yang sama dengan *background*.

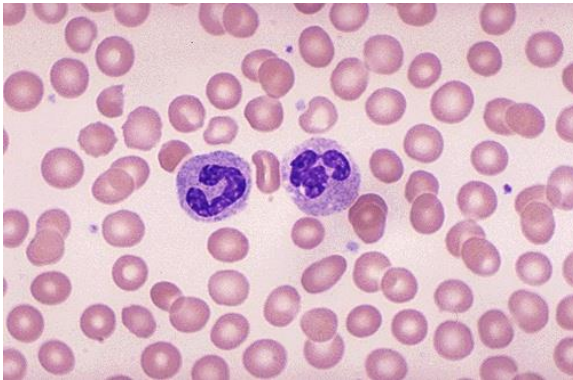
DAFTAR PUSTAKA

- [1] C. Jung, K. C. S. W. Chae and S. Oh, "Unsupervised Segmentation of Overlapped Nuclei Using Bayesian Classification," *IEEE Transactions on Biomedical Engineering*, vol. 57, no. 12, pp. 2825-2832, December 2010.
- [2] F. Effendy, C. Fatichah and D. Purwitasari, "Identifikasi Sel Bertumpuk Berdasarkan Fitur Geometri Pada Sel Darah Merah," in *Prosiding Seminar Nasional Pascasarjana XIII – ITS*, Surabaya, 2013.
- [3] M. Bouguessa, S. Wang and H. Sun, "An objective approach to cluster validation," *Pattern Recognition Letters*, vol. 27, no. 13, p. 1419–1430, 2006.
- [4] R. C. Gonzales and R. E. Woods, *Digital Image Processing*, 2nd Edition ed., Prentice Hall, 2002.
- [5] A. R. Douglas, "Gaussian Mixture Models," in *Encyclopedia of Biometrics*, Springer, 2009, pp. 659-663.
- [6] R. O. Duda, P. E. Hart and D. G. Stork, *Pattern Classification*, 2nd Edition ed., Wiley-Interscience, 2000.
- [7] R. Fisher, S. Perkins, A. Walker and E. Wolfart, "The University of Edinburgh, school of informatics," [Online]. Available:
<http://homepages.inf.ed.ac.uk/rbf/HIPR2/distance.htm>.
- [8] "Regional Maximal (imregionalmax)," [Online]. Available:
<https://nf.nci.org.au/facilities/software/Matlab/toolbox/image/s/imregionalmax.html>.
- [9] A. P. Singh, "Carnegie Mellon School of Computer Science," November 2005. [Online]. Available:
<http://www.cs.cmu.edu/~awm/15781/assignments/>.

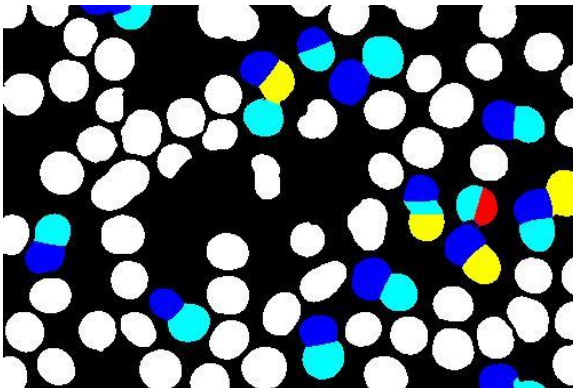
LAMPIRAN UJI COBA

Citra HEME001

Citra RGB

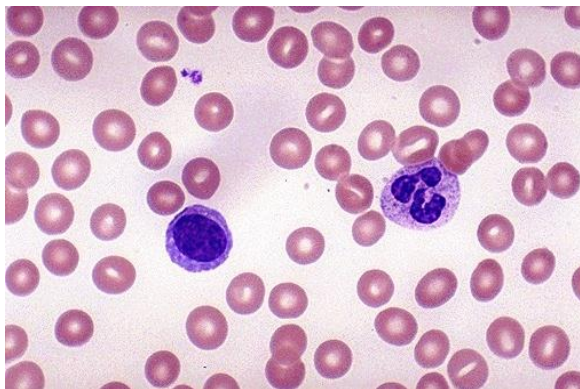


Citra visualisasi pemisahan sel darah merah yang bertumpuk

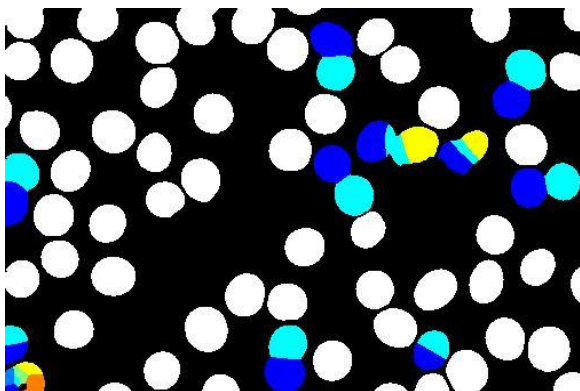


Citra HEME002

Citra RGB

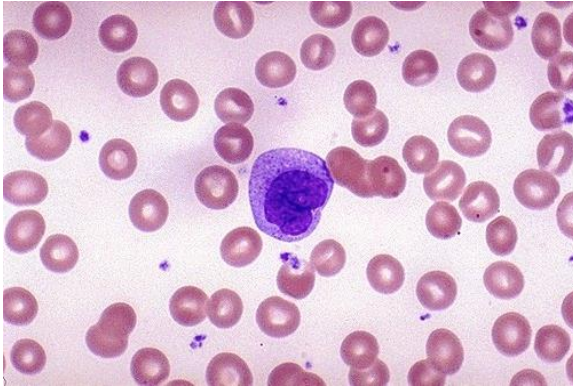


Citra visualisasi pemisahan sel darah merah yang bertumpuk

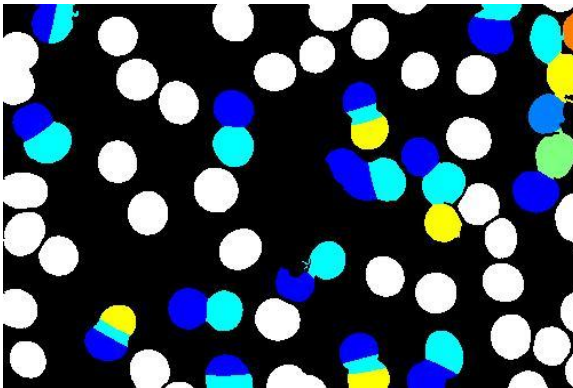


Citra HEME003

Citra RGB



Citra visualisasi pemisahan sel darah merah yang bertumpuk

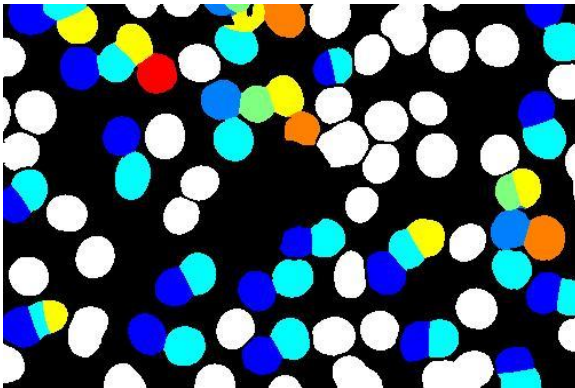


Citra HEME004

Citra RGB

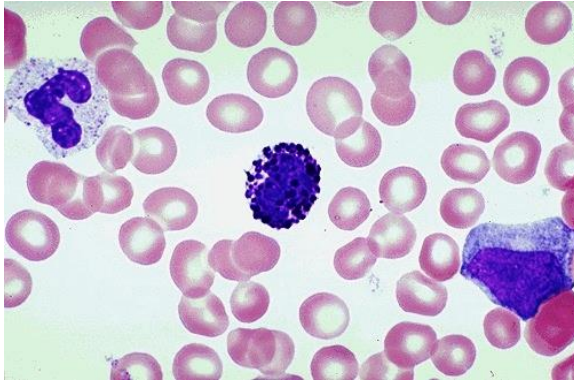


Citra visualisasi pemisahan sel darah merah yang bertumpuk

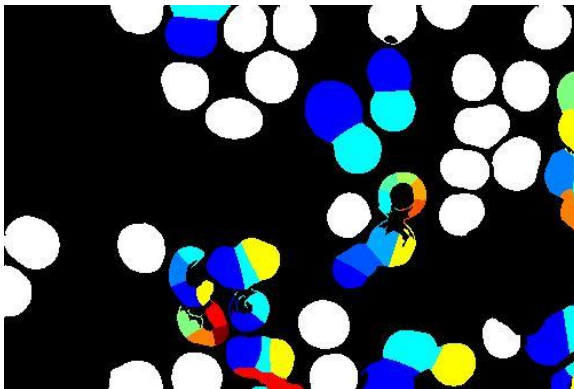


Citra HEME005

Citra RGB

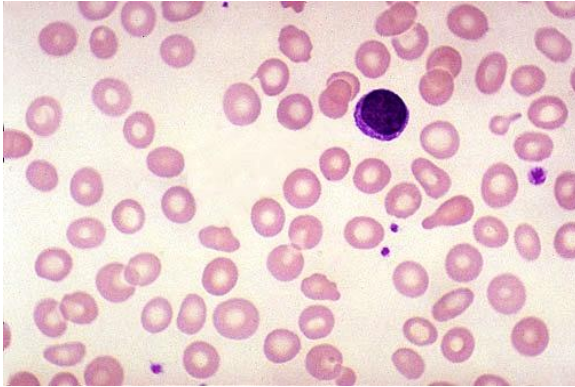


Citra visualisasi pemisahan sel darah merah yang bertumpuk

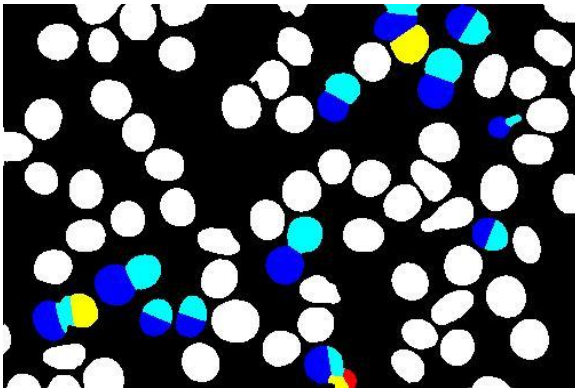


Citra HEME084

Citra RGB

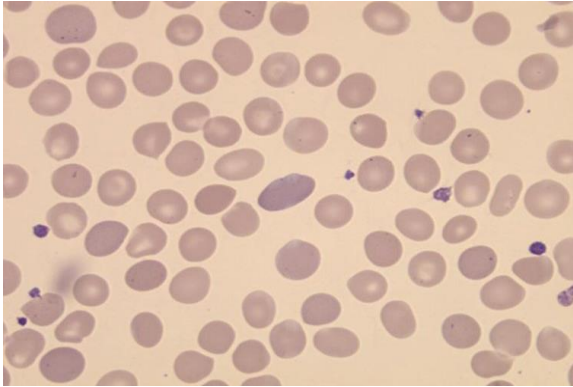


Citra visualisasi pemisahan sel darah merah yang bertumpuk

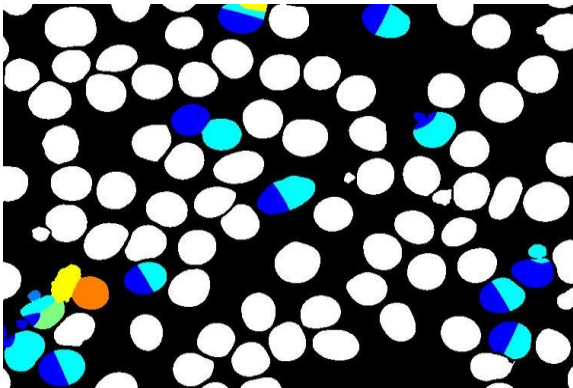


Citra MEGA2

Citra RGB

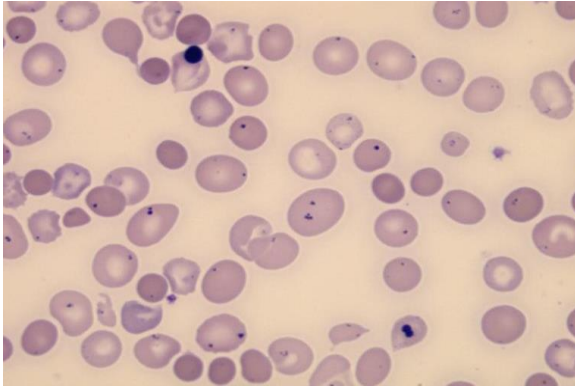


Citra visualisasi pemisahan sel darah merah yang bertumpuk

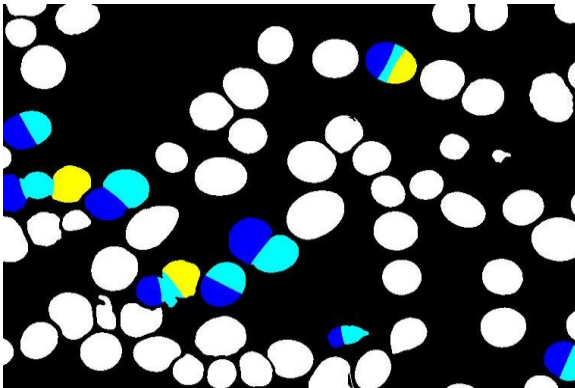


Citra MEGA3

Citra RGB

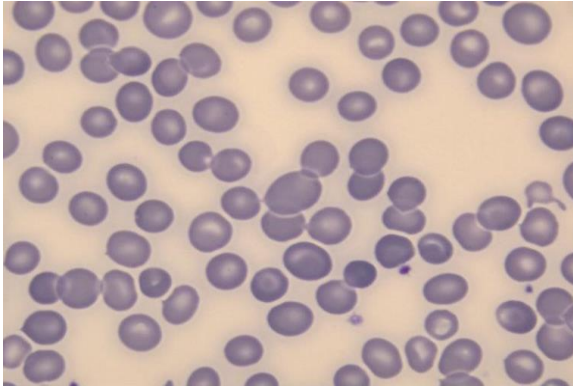


Citra visualisasi pemisahan sel darah merah yang bertumpuk

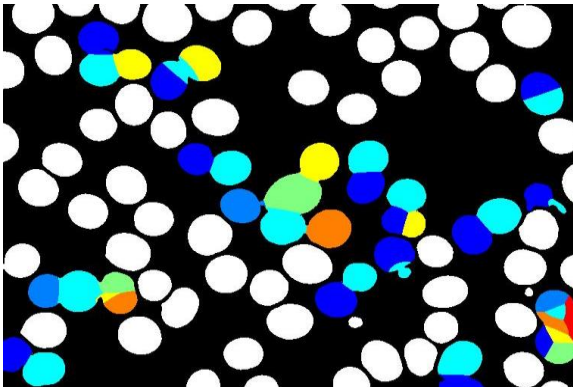


Citra MEGA4

Citra RGB

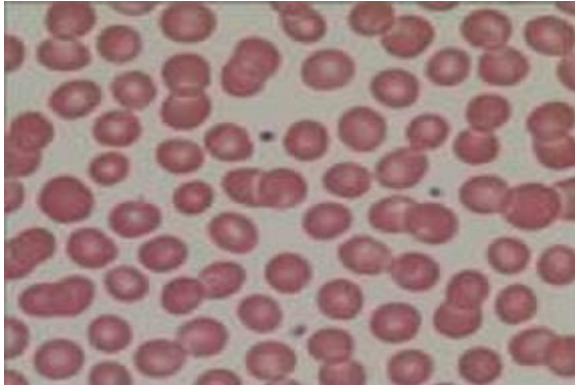


Citra visualisasi pemisahan sel darah merah yang bertumpuk

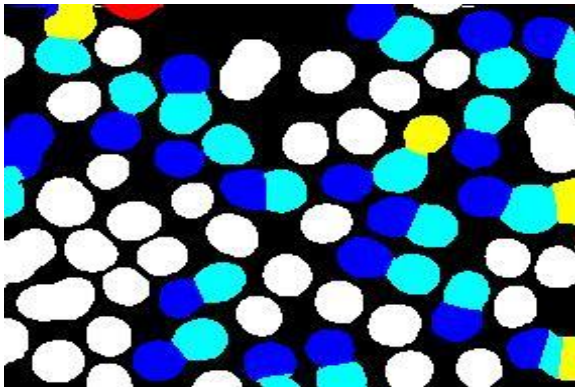


Citra rbc2

Citra RGB



Citra visualisasi pemisahan sel darah merah yang bertumpuk



BIODATA PENULIS



RM Reza Rizky Pratama, merupakan anak pertama dari tiga bersaudara dan biasa dipanggil Reza. Penulis dilahirkan di Surabaya pada tanggal 8 Desember 1992. Penulis telah menempuh pendidikan formal di TK Tadika Puri (1996-1998), SD Negeri Dr. Soetomo V Surabaya (1998-2004), SMP Negeri 6 Surabaya (2004-2007), SMA Negeri 2 Surabaya (2007-2010). Pada tahun 2010 penulis diterima di S1 Jurusan Teknik Informatika Institut

Teknologi Sepuluh Nopember Surabaya melalui jalur SNMPTN dan terdaftar dengan NRP 5110100181. Di Jurusan Teknik Informatika, penulis mengambil bidang minat Komputasi Cerdas dan Visualisasi (KCV). Selain bidang akademik, penulis suka menghabiskan waktu untuk berolahraga, mendengarkan musik dan bermain game. Penulis dapat dihubungi melalui alamat email rm.rezarp@gmail.com.